

PLEVRANIN KARSİNOM METASTAZ OLGU SERİSİ

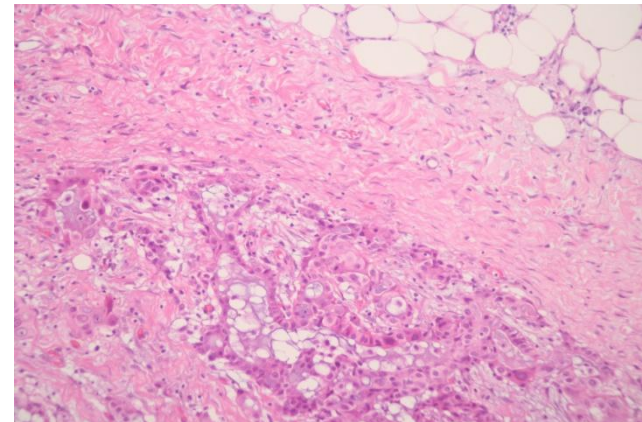
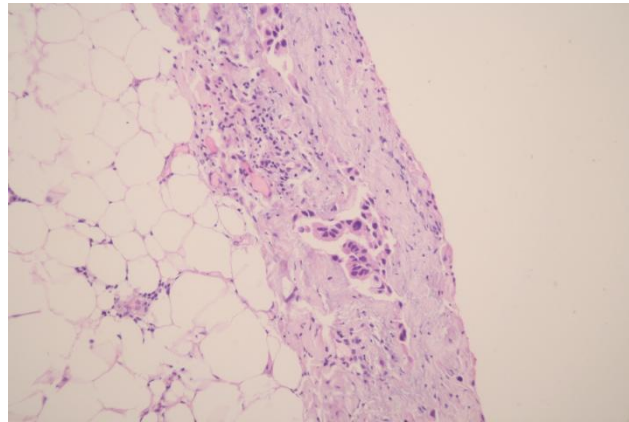
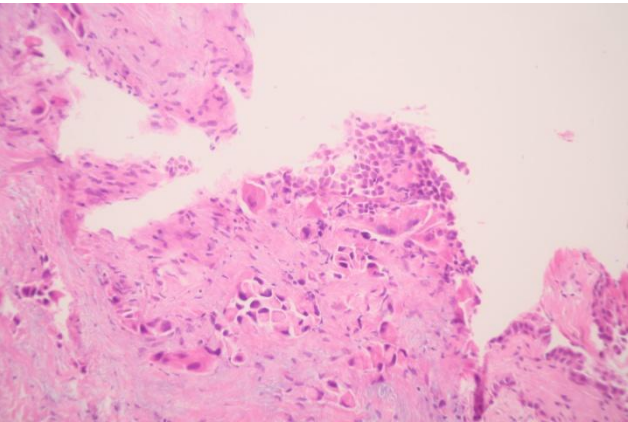
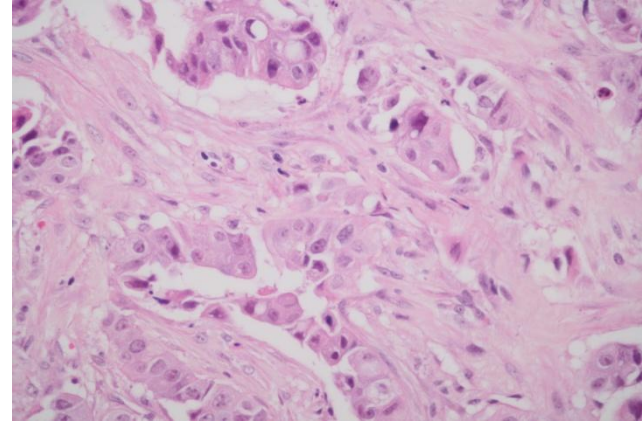
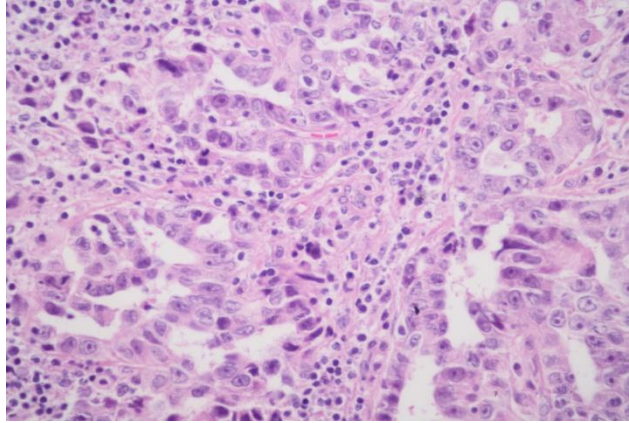
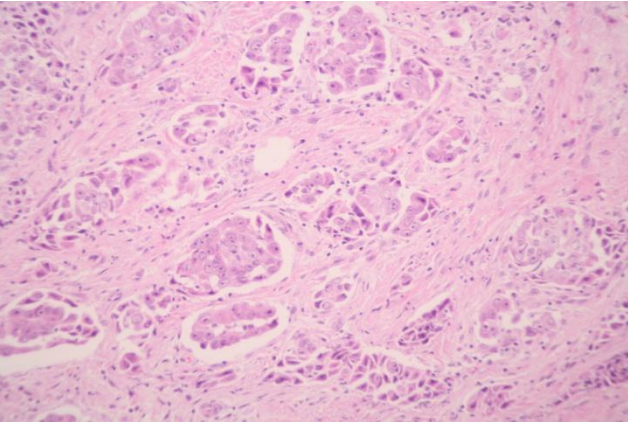
Doç. Dr. Sibel Perçinel

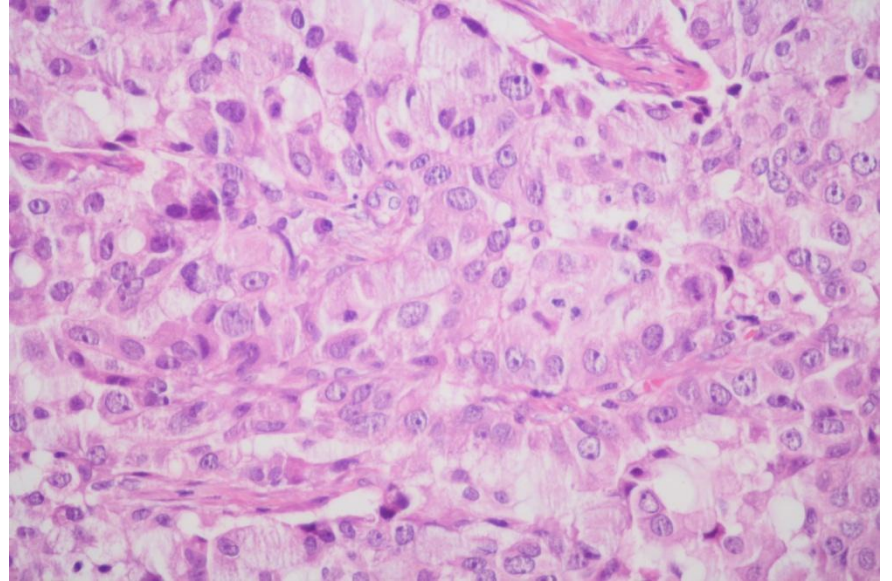
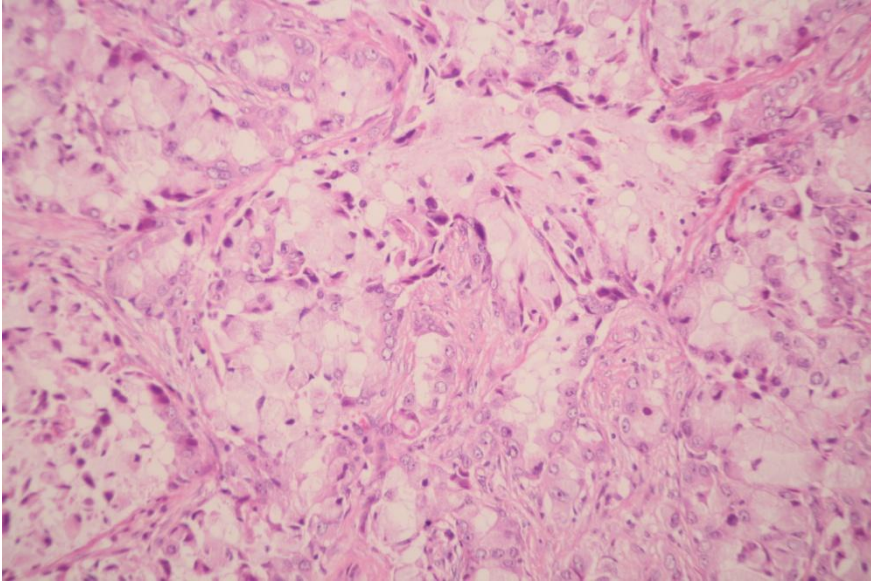
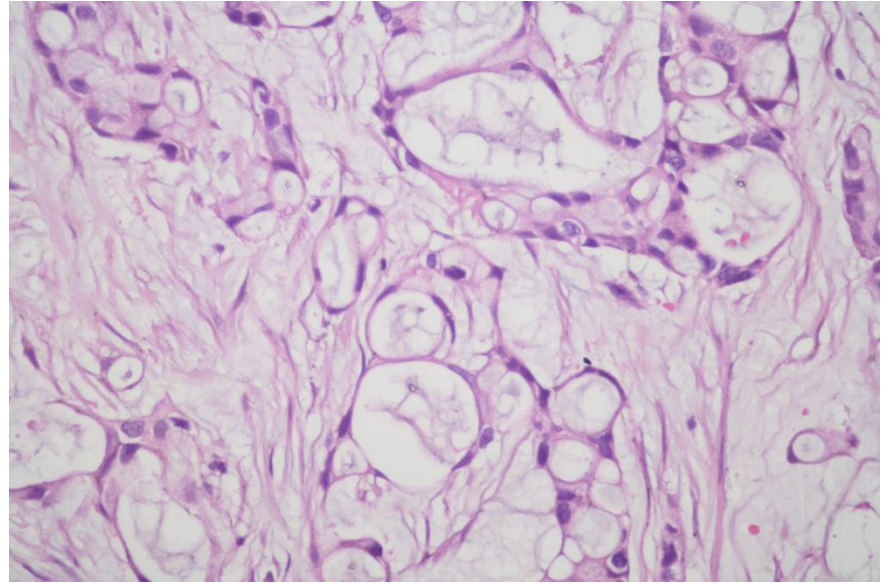
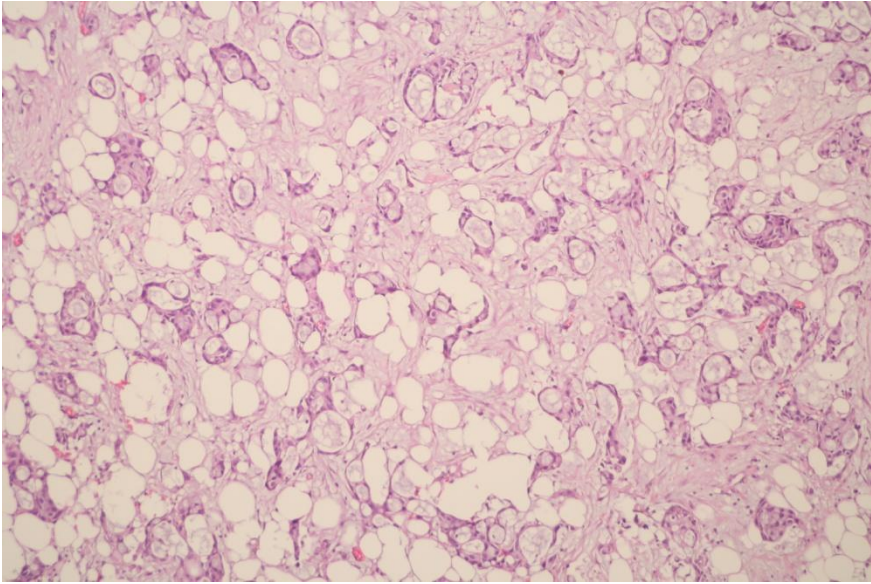
Ankara Üniversitesi Tıp Fakültesi

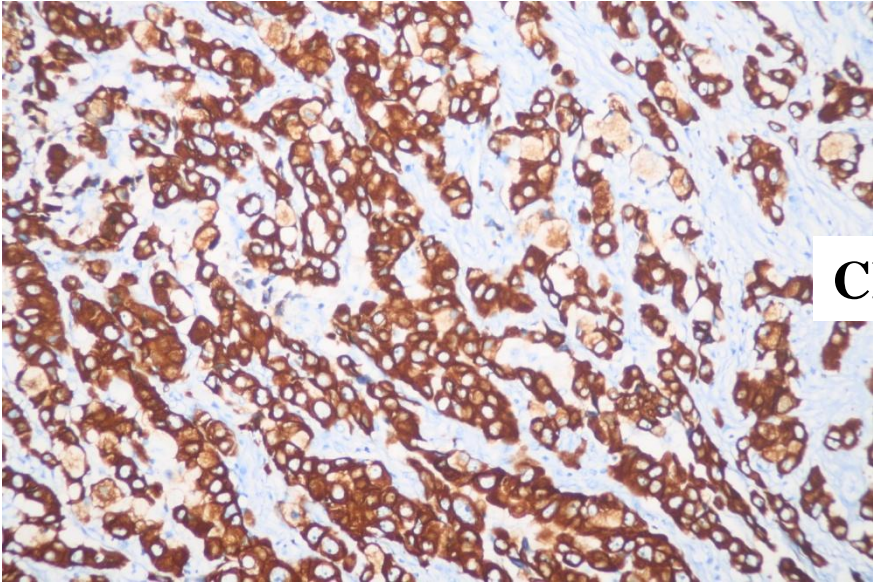
Patoloji Anabilim Dalı

Olgu 1

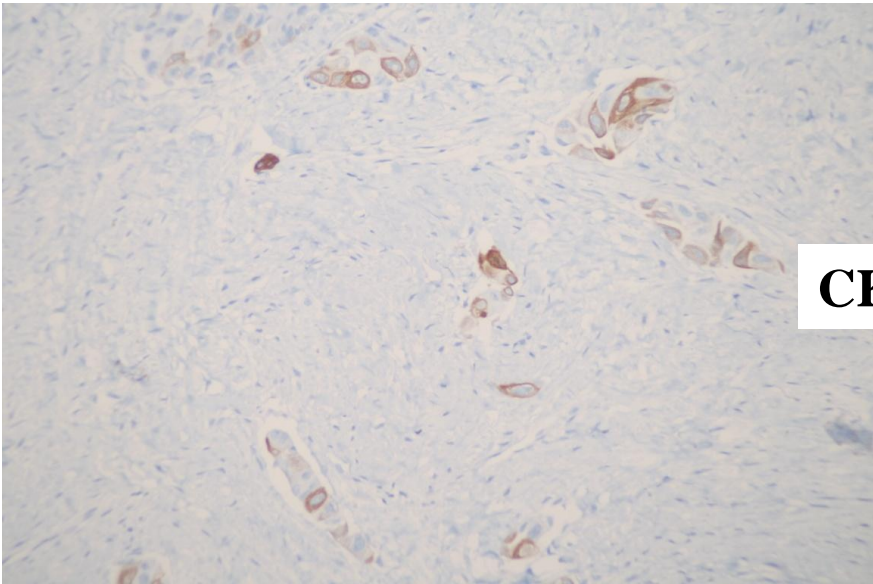
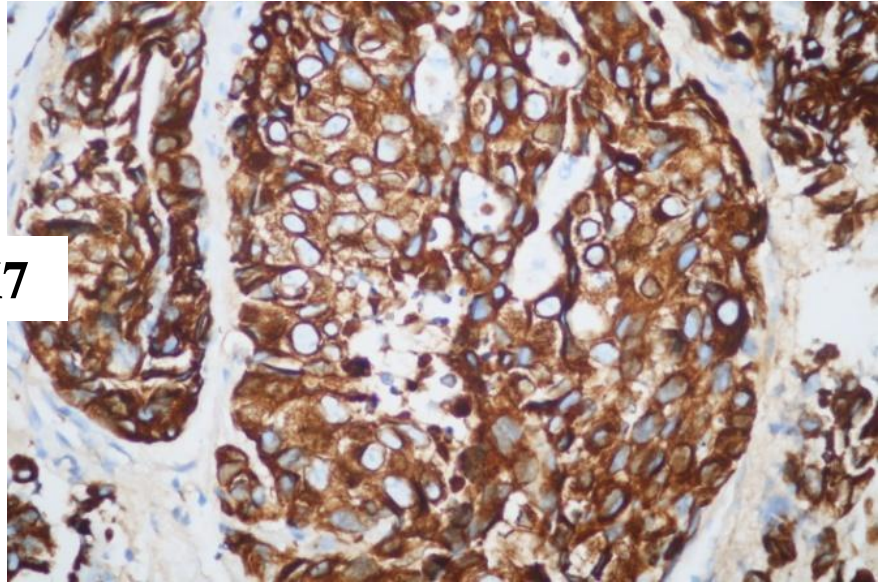
- 65/E
- Sağ akciğer üst lob anterior segmentte, lateral plevral yüzeye uzanan, düzensiz sınırlı 2 cm çapında nodüler lezyon
- Sağ perihiler bölgede, plevral yüzeylerde milimetrik nodüller
- Sağda plevral efüzyon
- Plevra bx



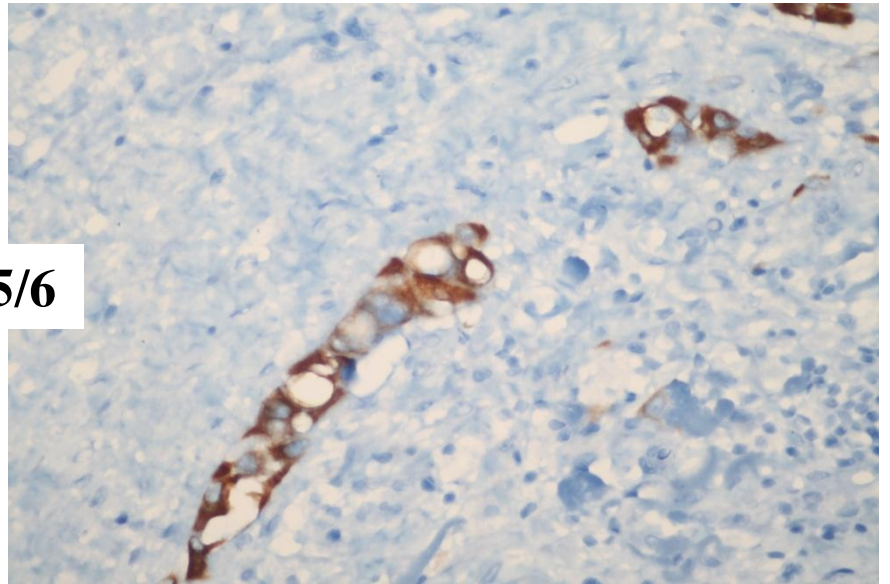


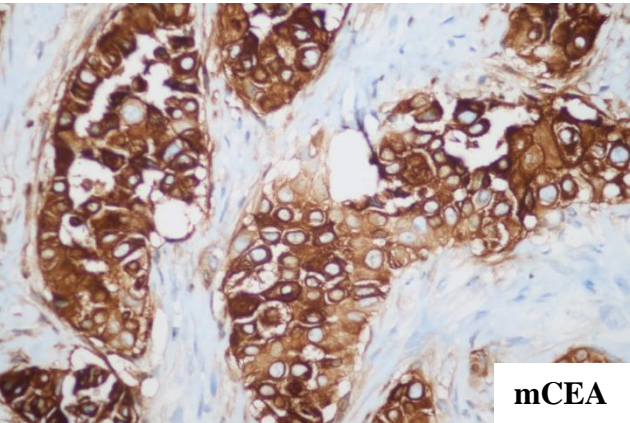


CK7

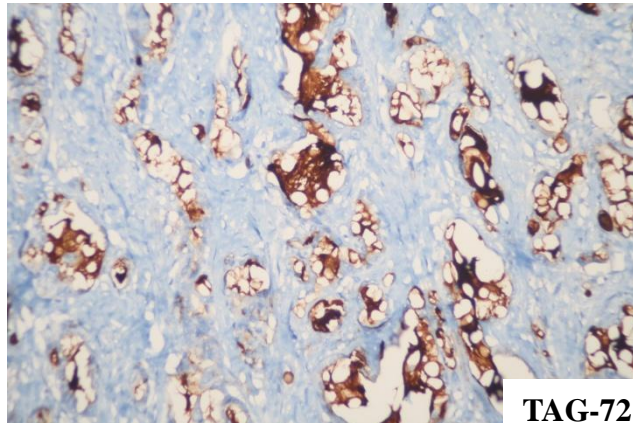


CK5/6

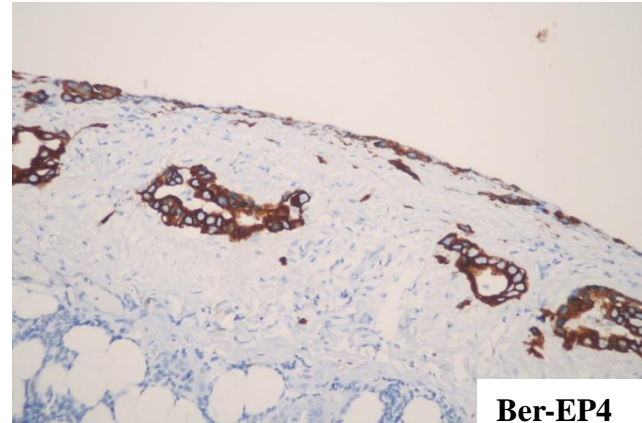




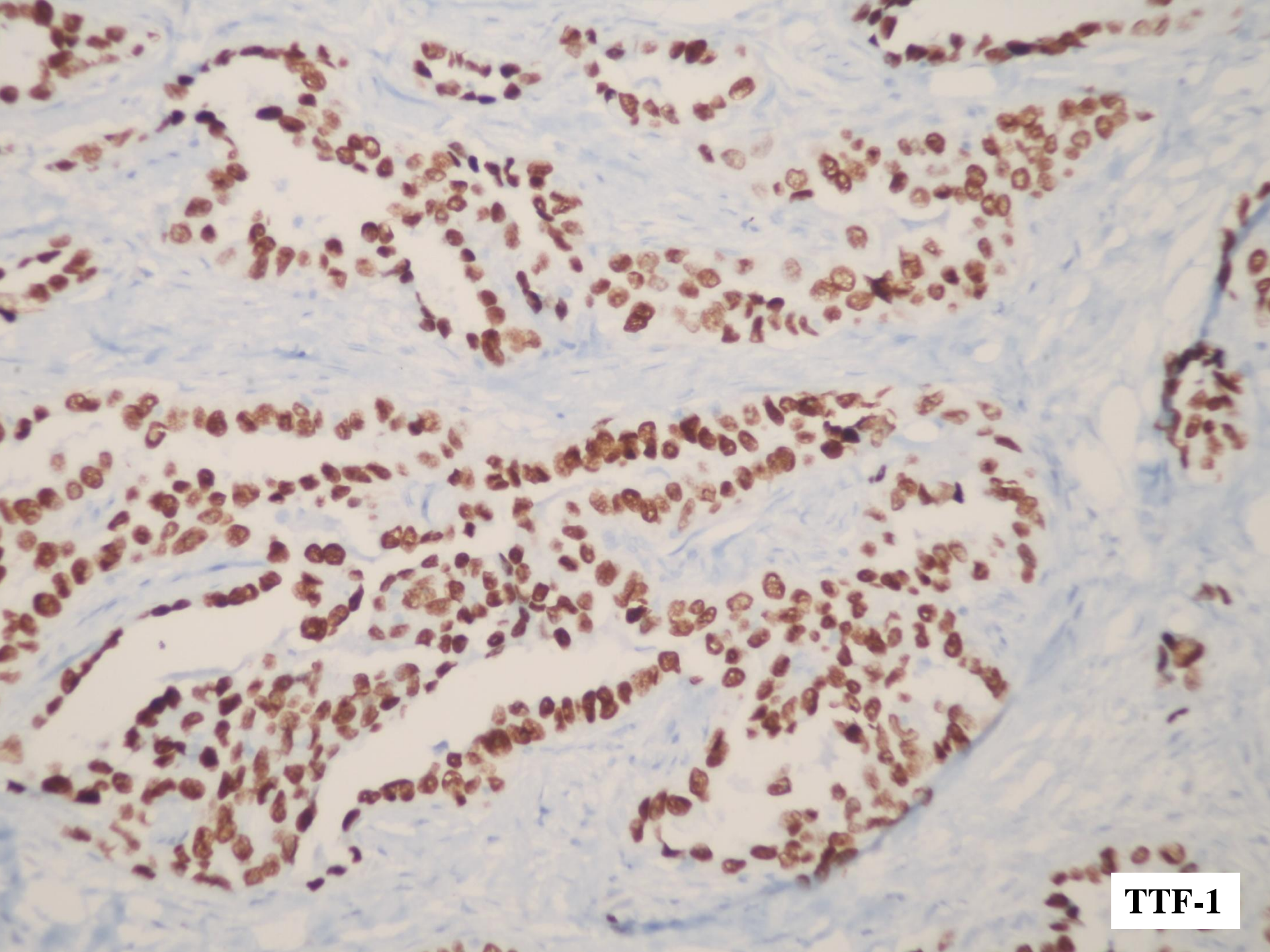
mCEA



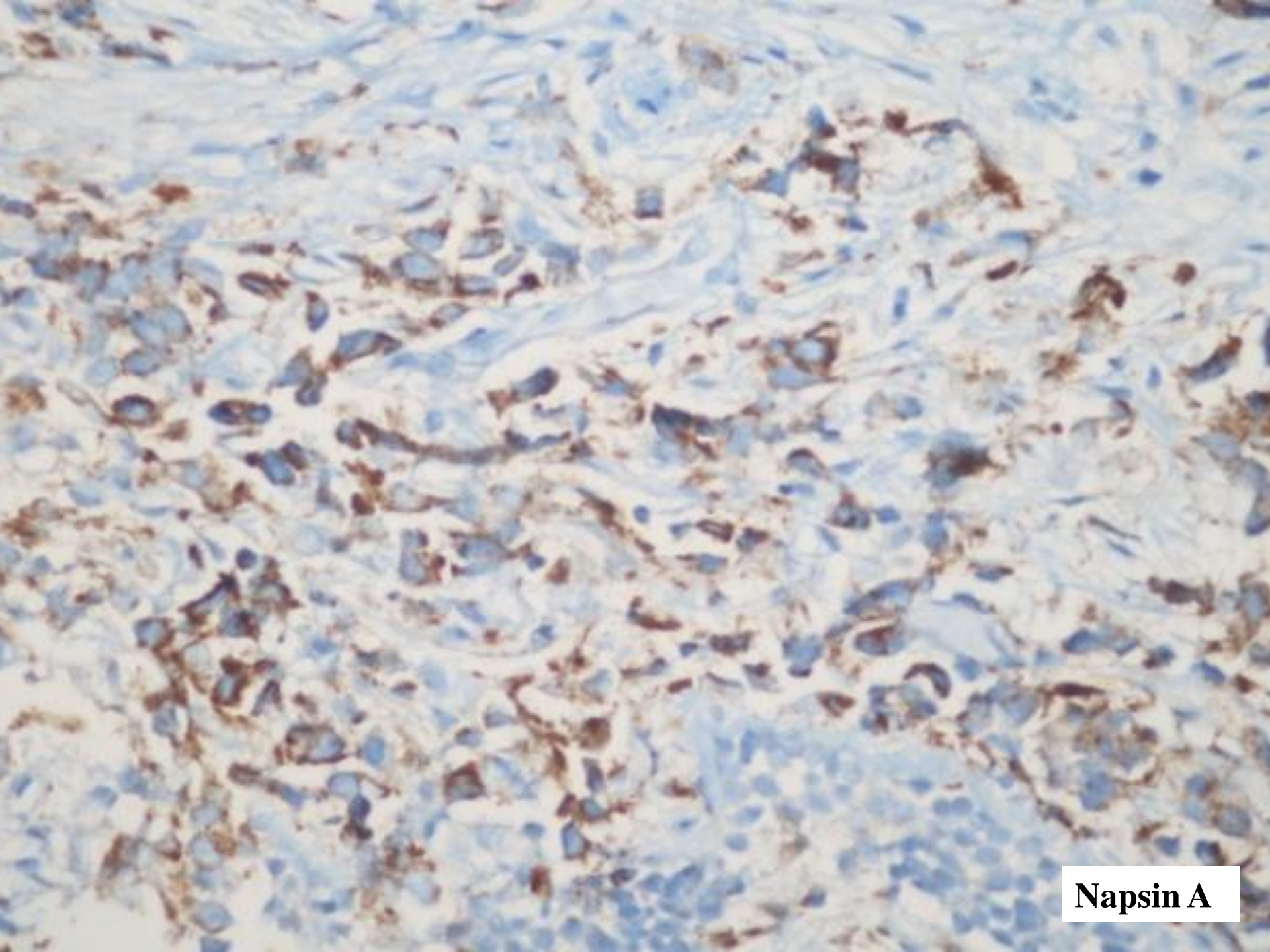
TAG-72



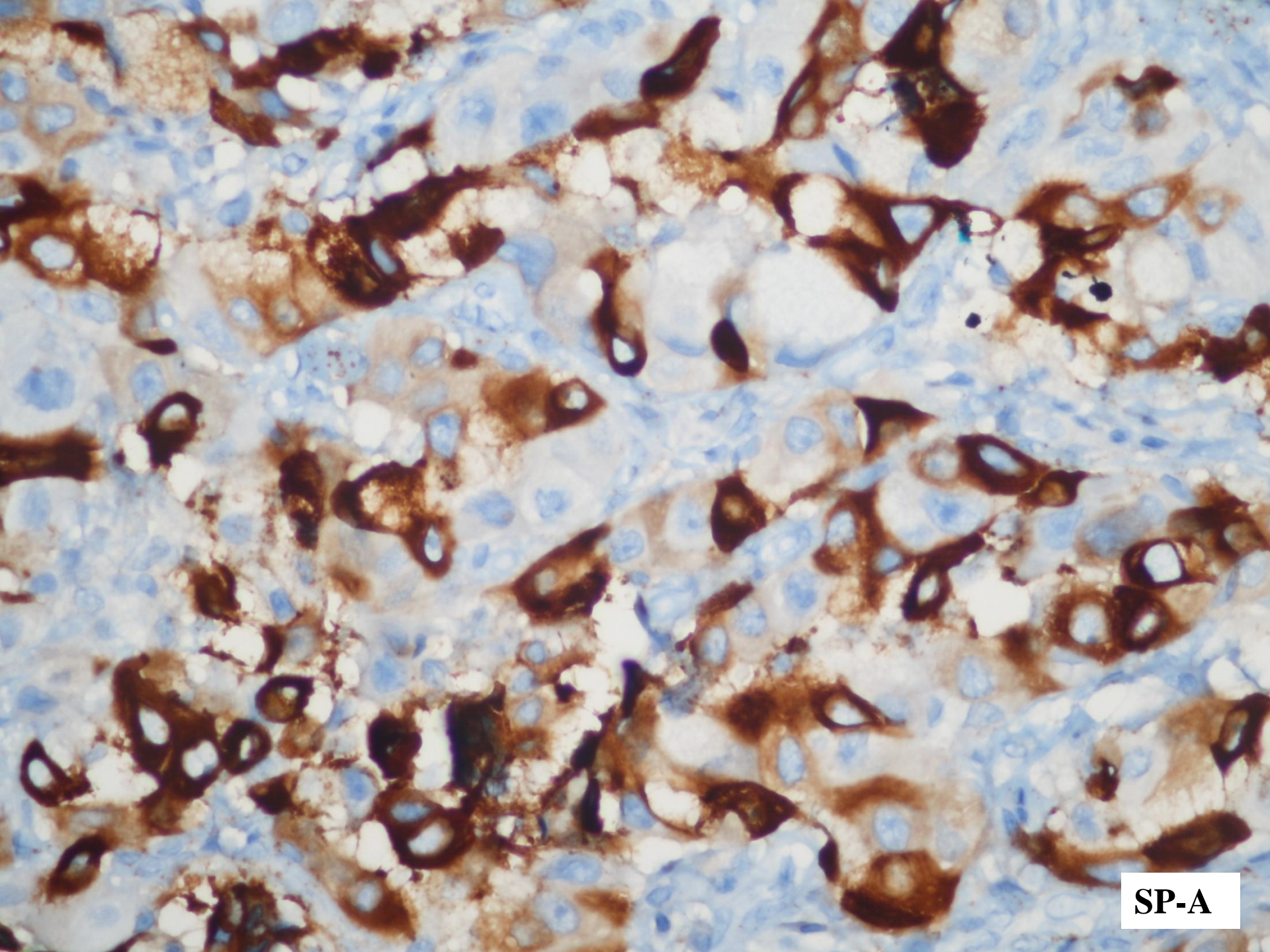
Ber-EP4



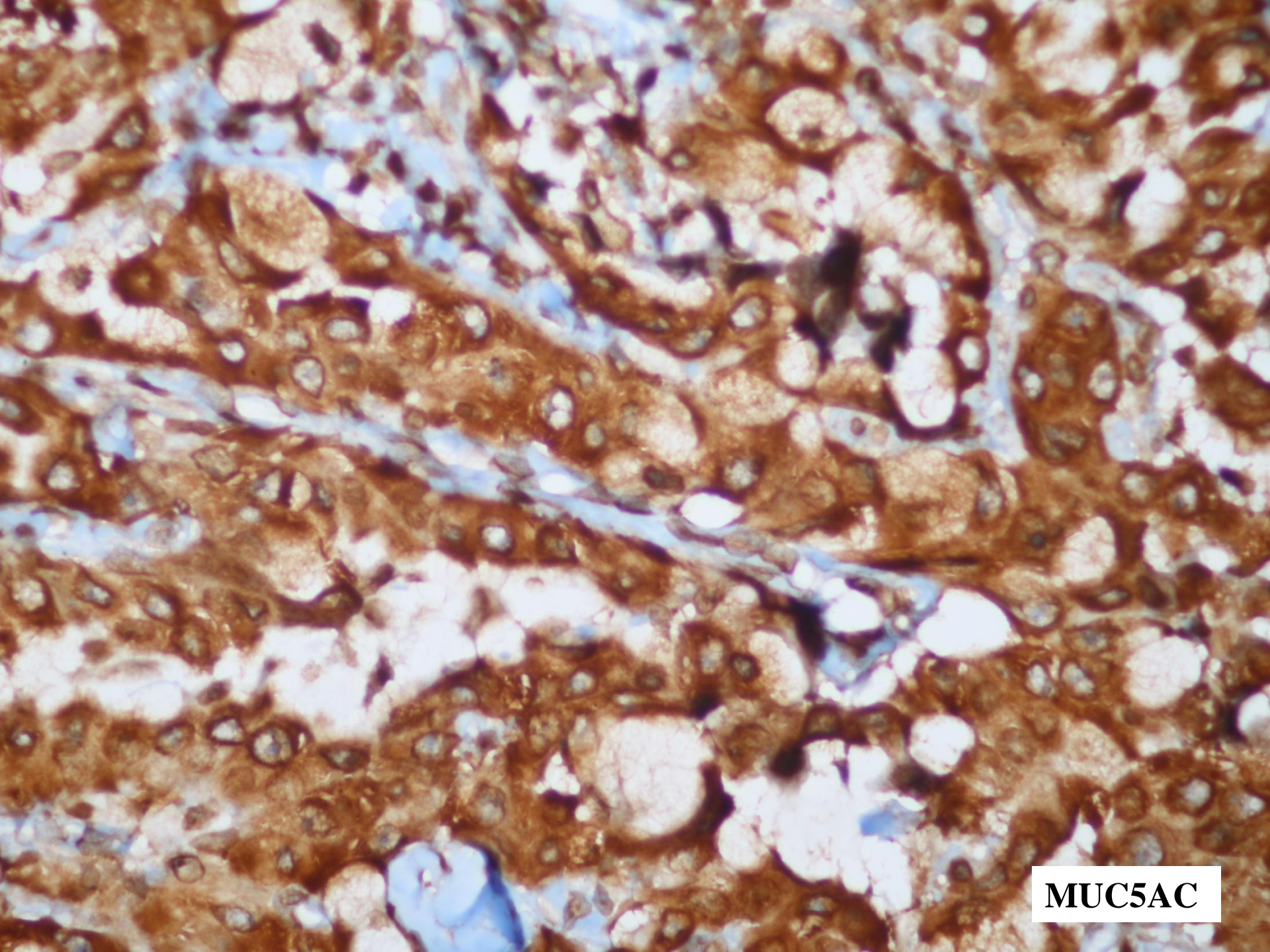
TTF-1



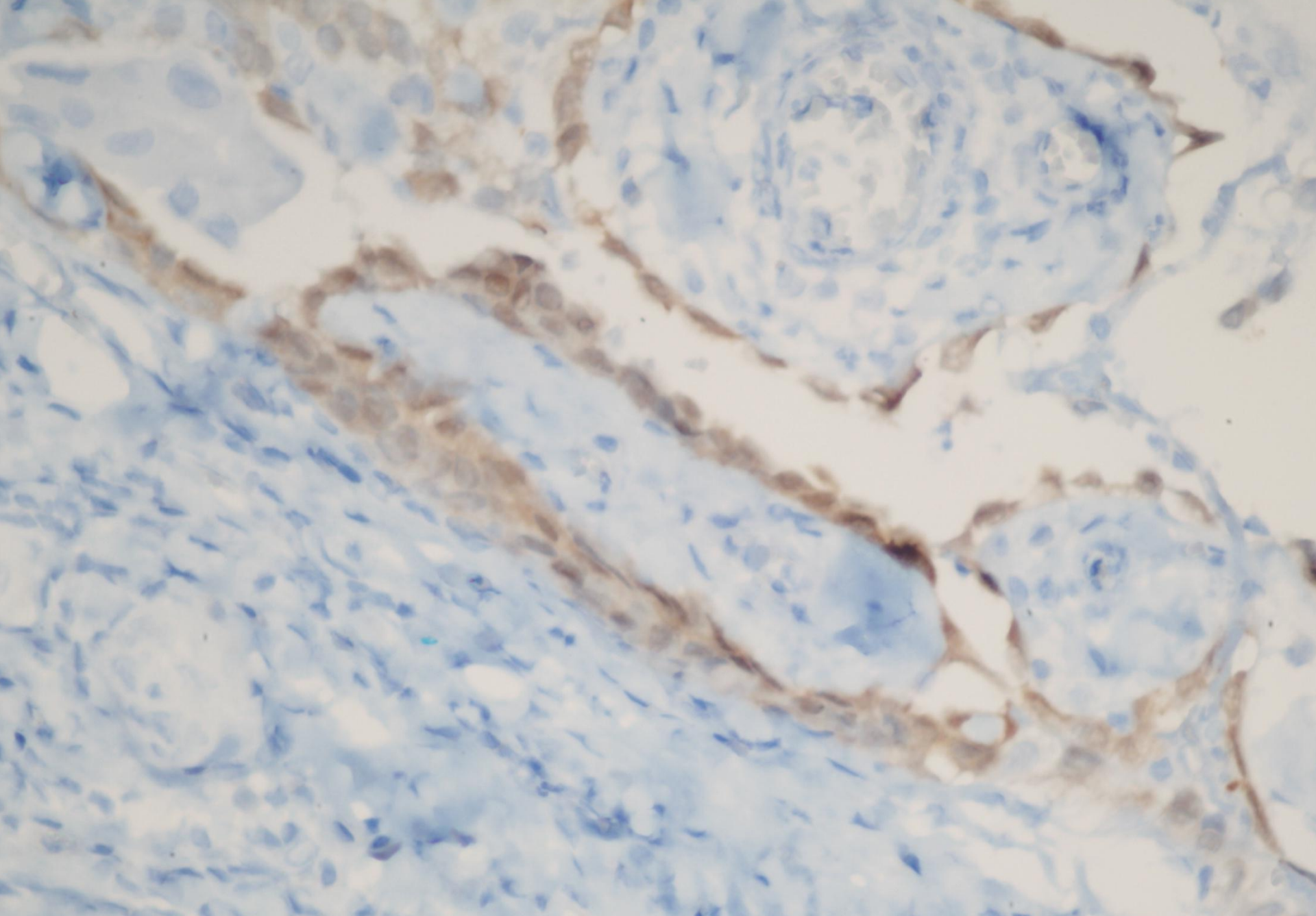
Napsin A



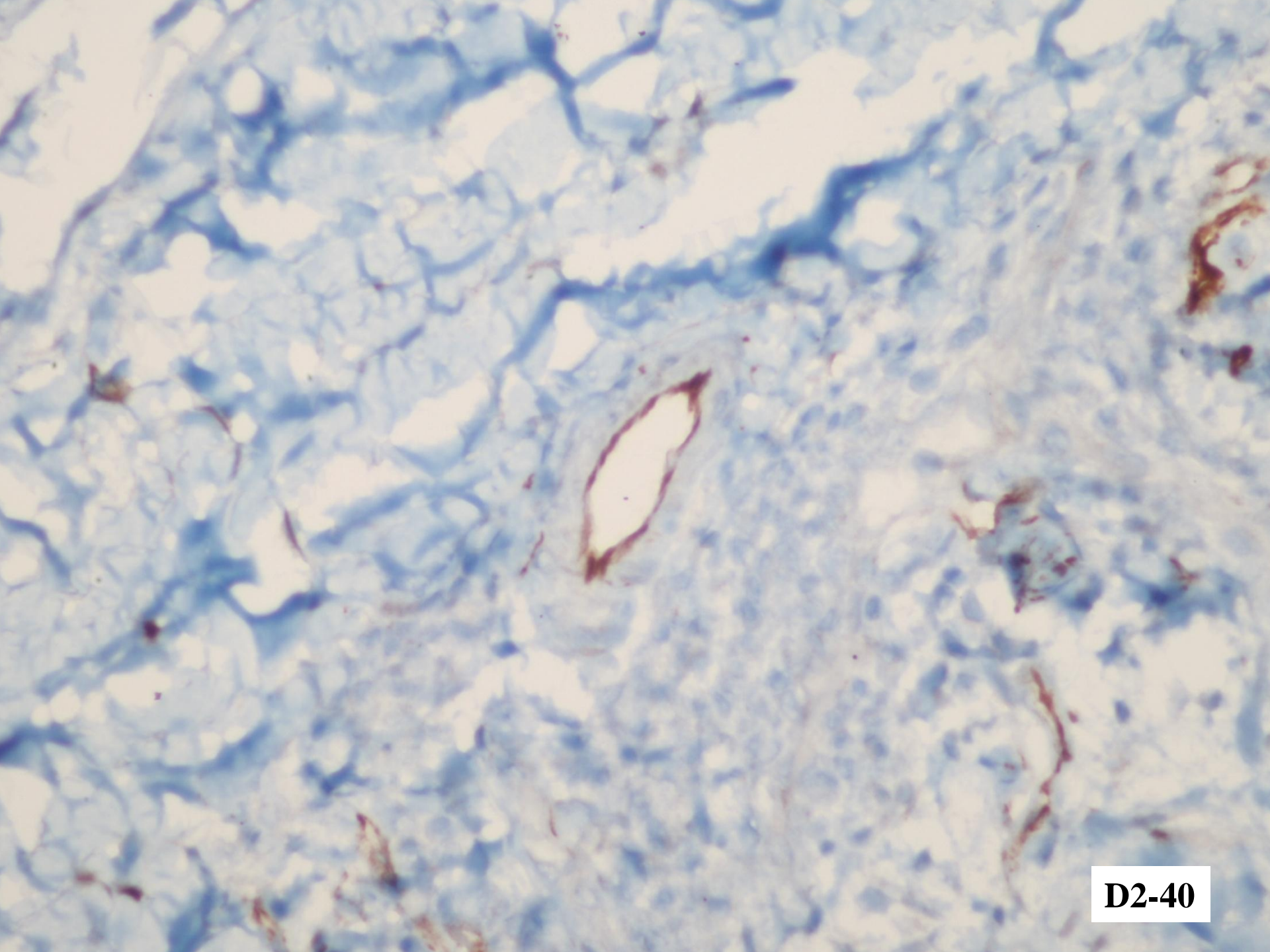
SP-A



MUC5AC



Calretinin



D2-40

Negatif Immünfenotip

- CK20
- Calretinin
- D2-40
- WT-1
- MUC2
- MUC6

Akciğer adenokarsinom metastazı

Epitelioid Mezotelyoma vs Akciğer Adenokarsinom Metastazı

Epitelioid mezotelyoma

Akciğer adenokarsinom metastazı

“Pozitif mezotelyoma markerları”

“Negatif mezotelyoma markerları”

Calretinin

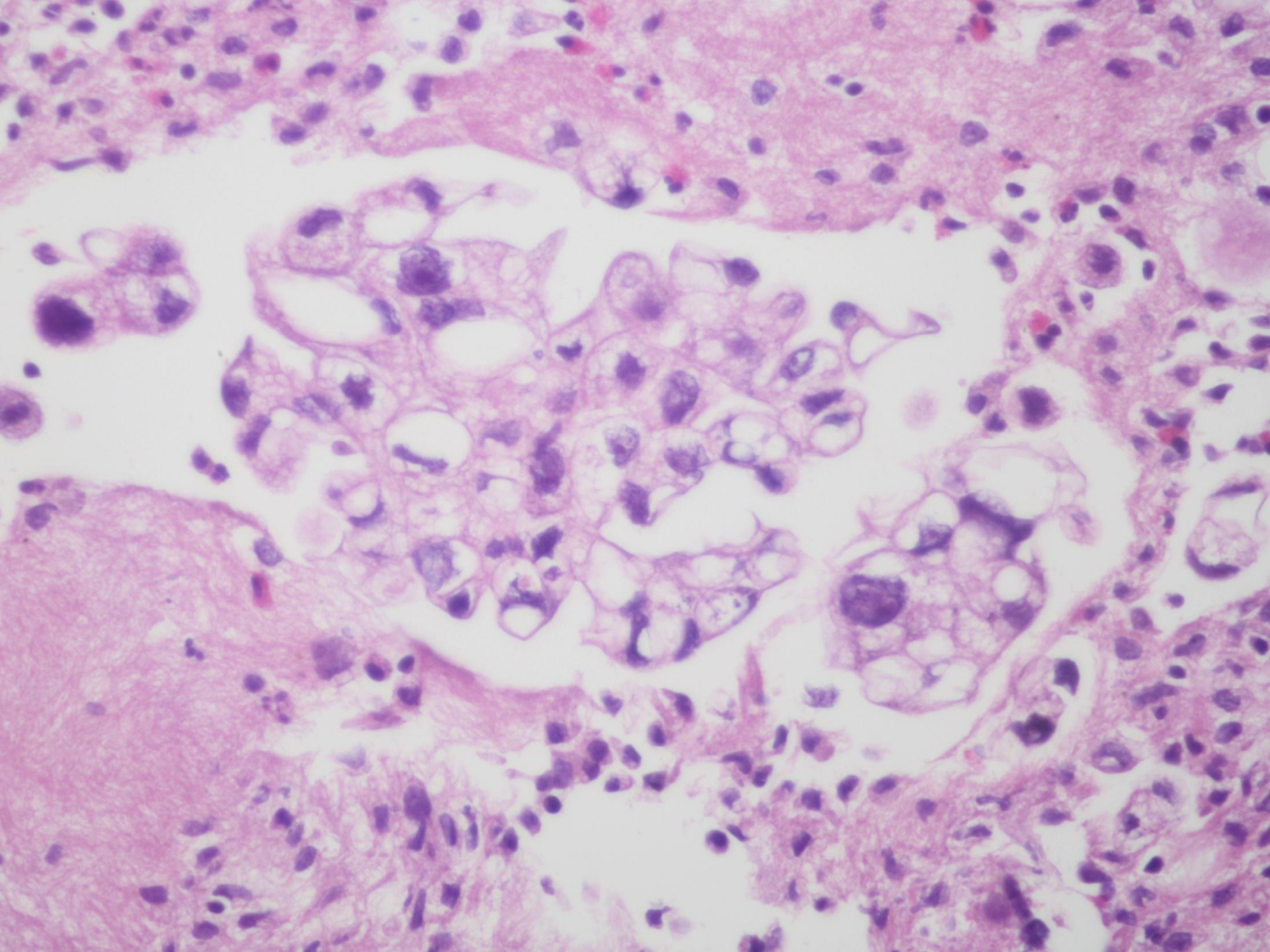
TTF-1

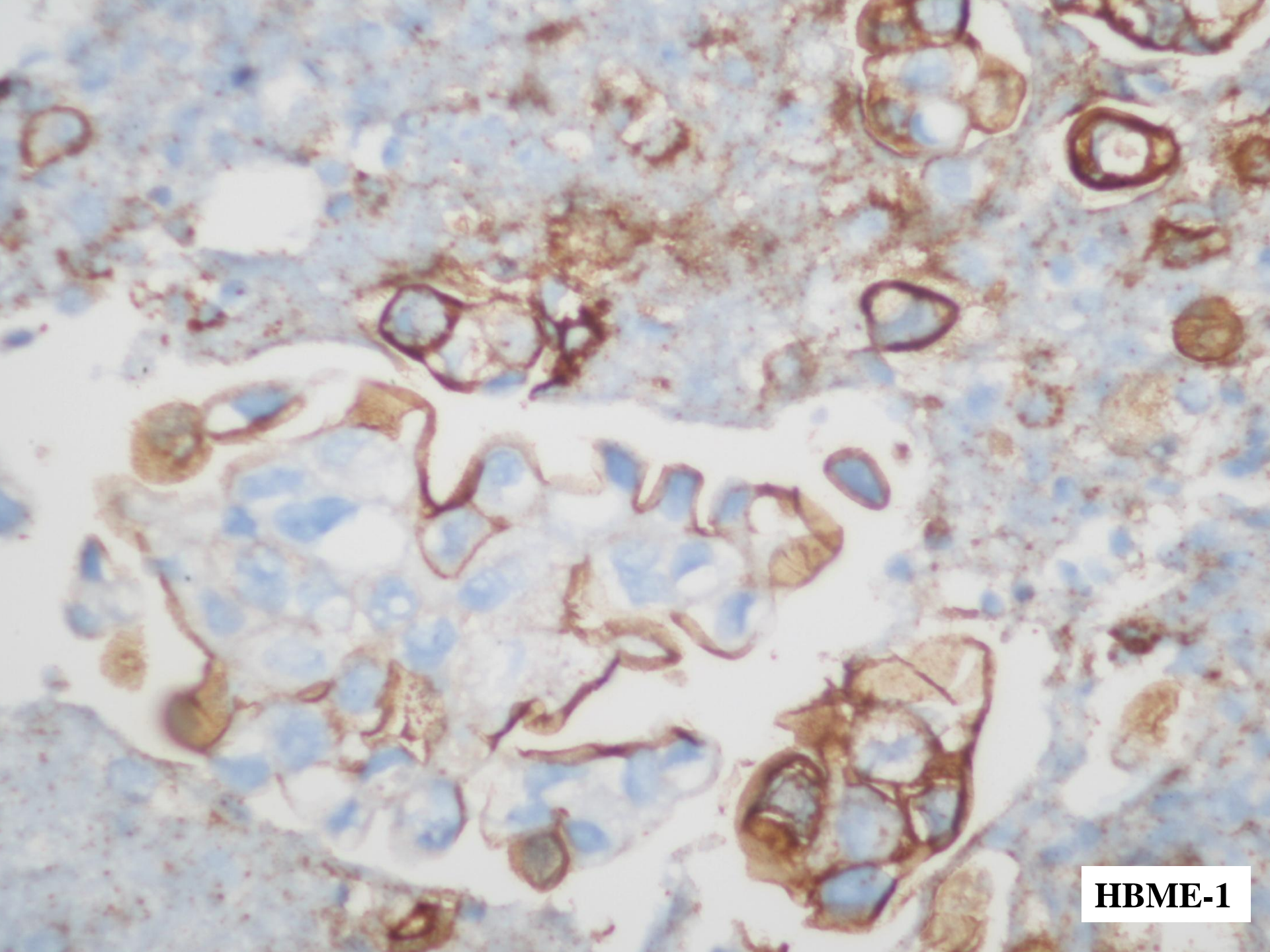
CK5/6

mCEA

Olgu 2

- 63/E
- Akciğer bx tanısı: KHDAK
- Plevra bx





HBME-1

Negatif Immünfenotip

- Calretinin
- D2-40
- WT-1

Akciğerin taşlı yüzük hücreli adenokarsinom metastazı

CK7/CK20 İmmünprofil

CK7+/CK20- immünprofil gösteren tümörler

Mezotelyomaların büyük bir kısmı (~2/3)

Akciğerin non-müsinöz adenokarsinomu

Meme karsinomu

Tiroid karsinomu

Overin seröz karsinomu

Endometrial adenokarsinom

Endoservikal adenokarsinom

Tükrük bezi tümörleri

Pankreatobiliyer karsinomların bir kısmı

Gastrik adenokarsinomların bir kısmı

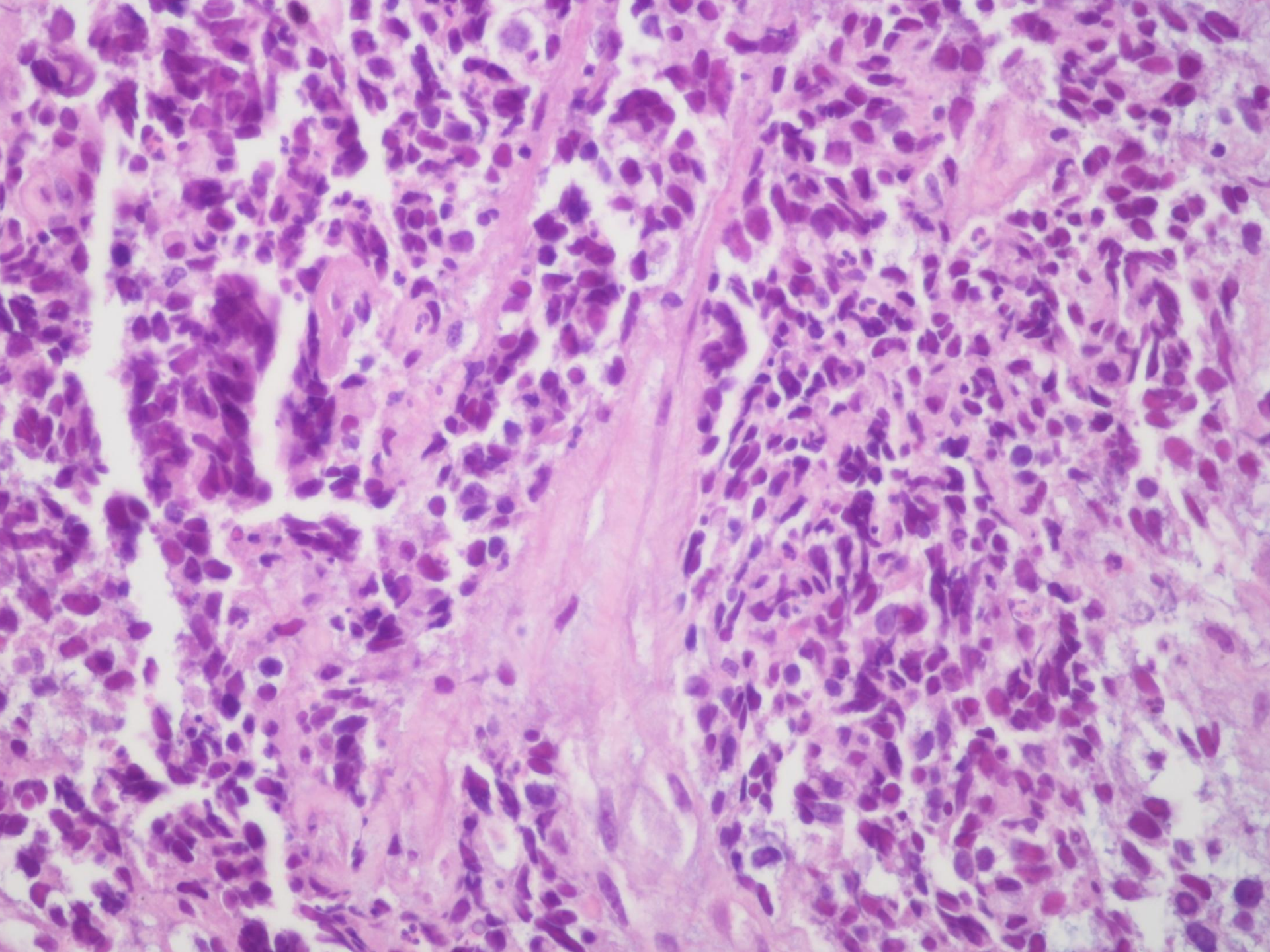
Ürotelyal karsinomların bir kısmı

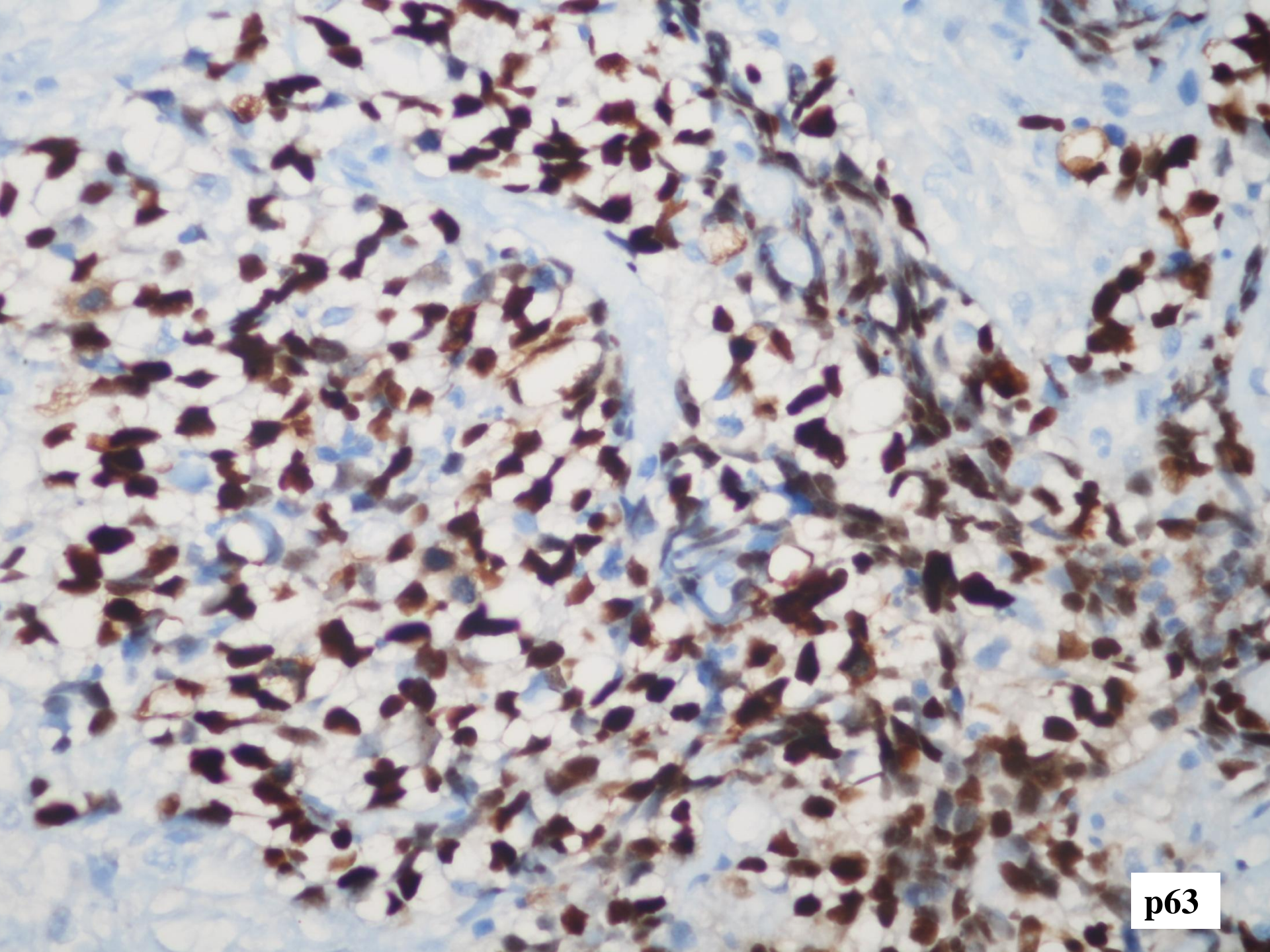
Mezotelyomaların küçük bir kısmı
(~1/3): CK7-/CK20-

Akciğerin primer invaziv müsinöz
adenokarsinomu: CK7+/CK20+

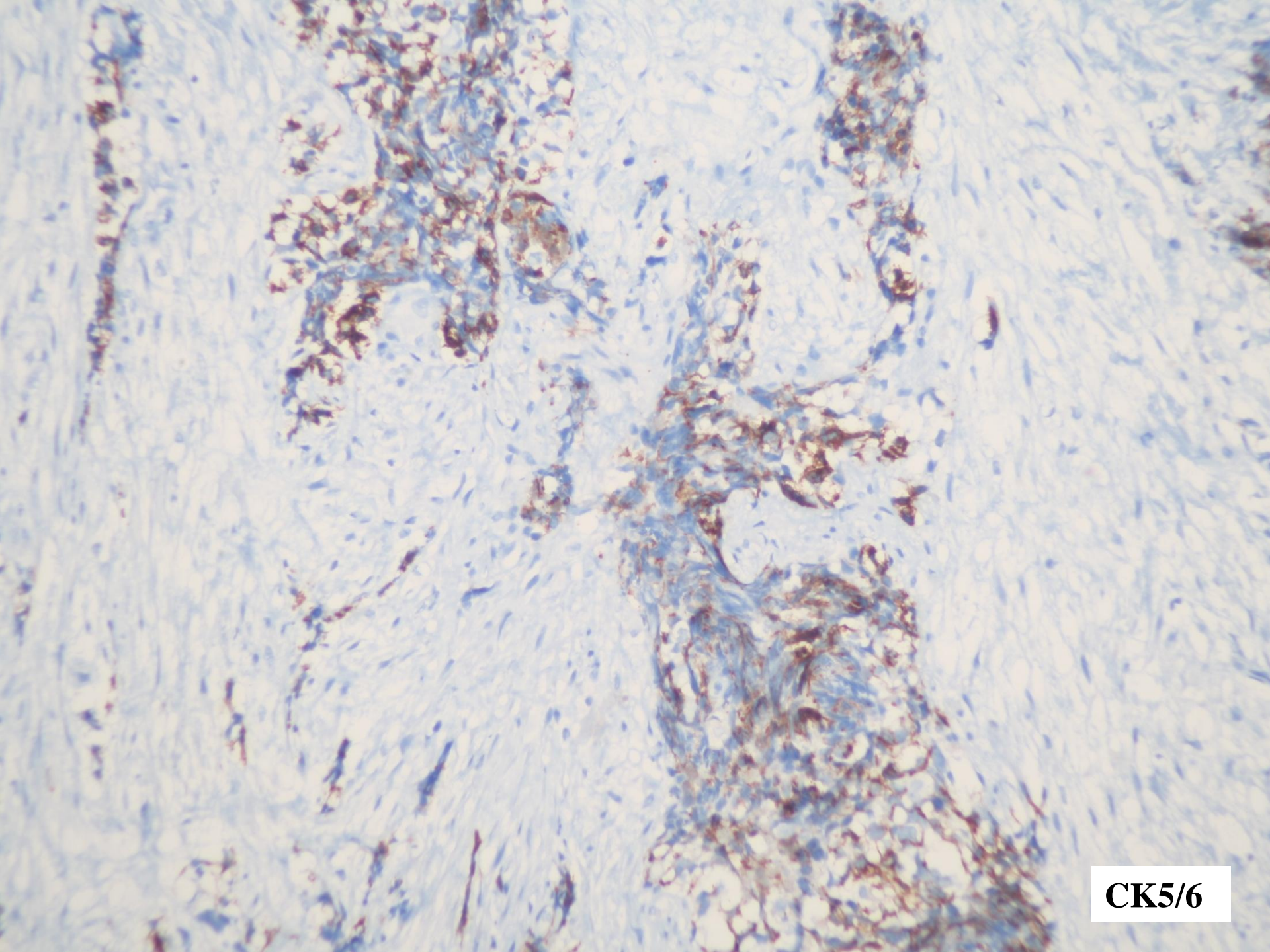
Olgu 3

- 68/K
- Sağda masif plevral efüzyon, plevrada difüz kalınlaşma
- Subkarinal bölgede büyüğü 2 cm, sağ diafragmatik bölgede ise 2.5 cm çapında LAP
- Metastaz olasılığı mezotelyomaya göre daha yüksek
- Plevra bx

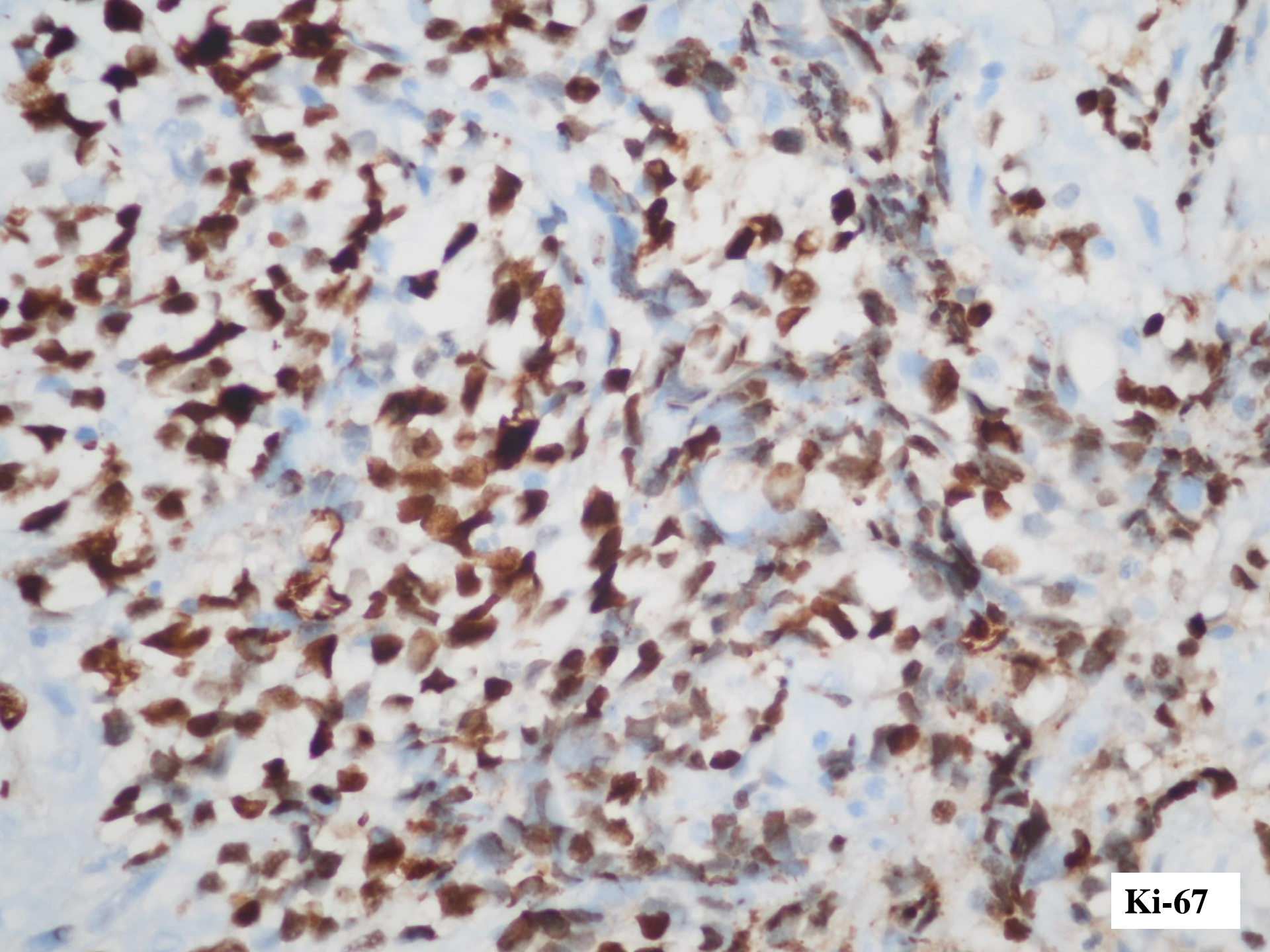




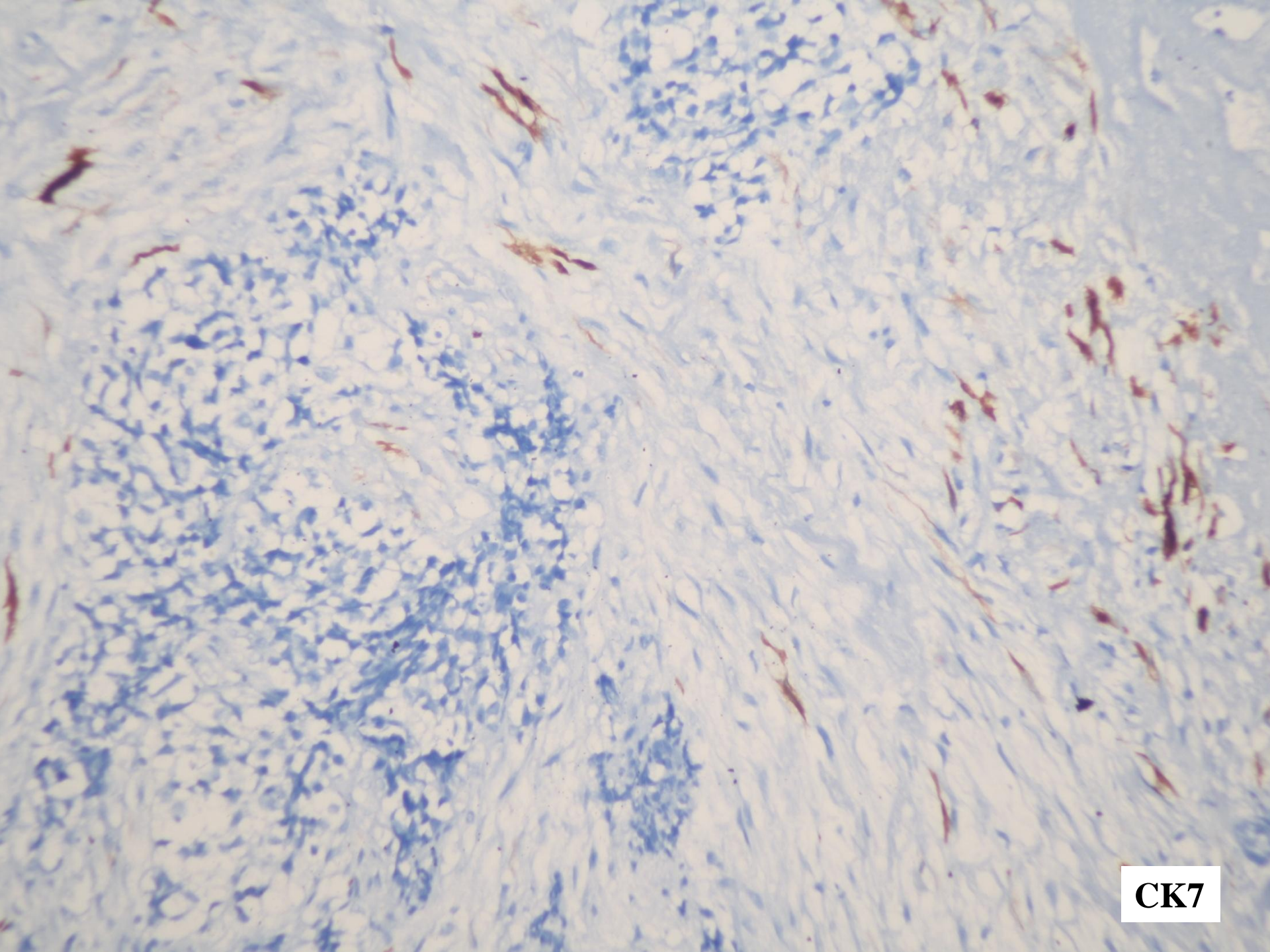
p63



CK5/6



Ki-67



CK7

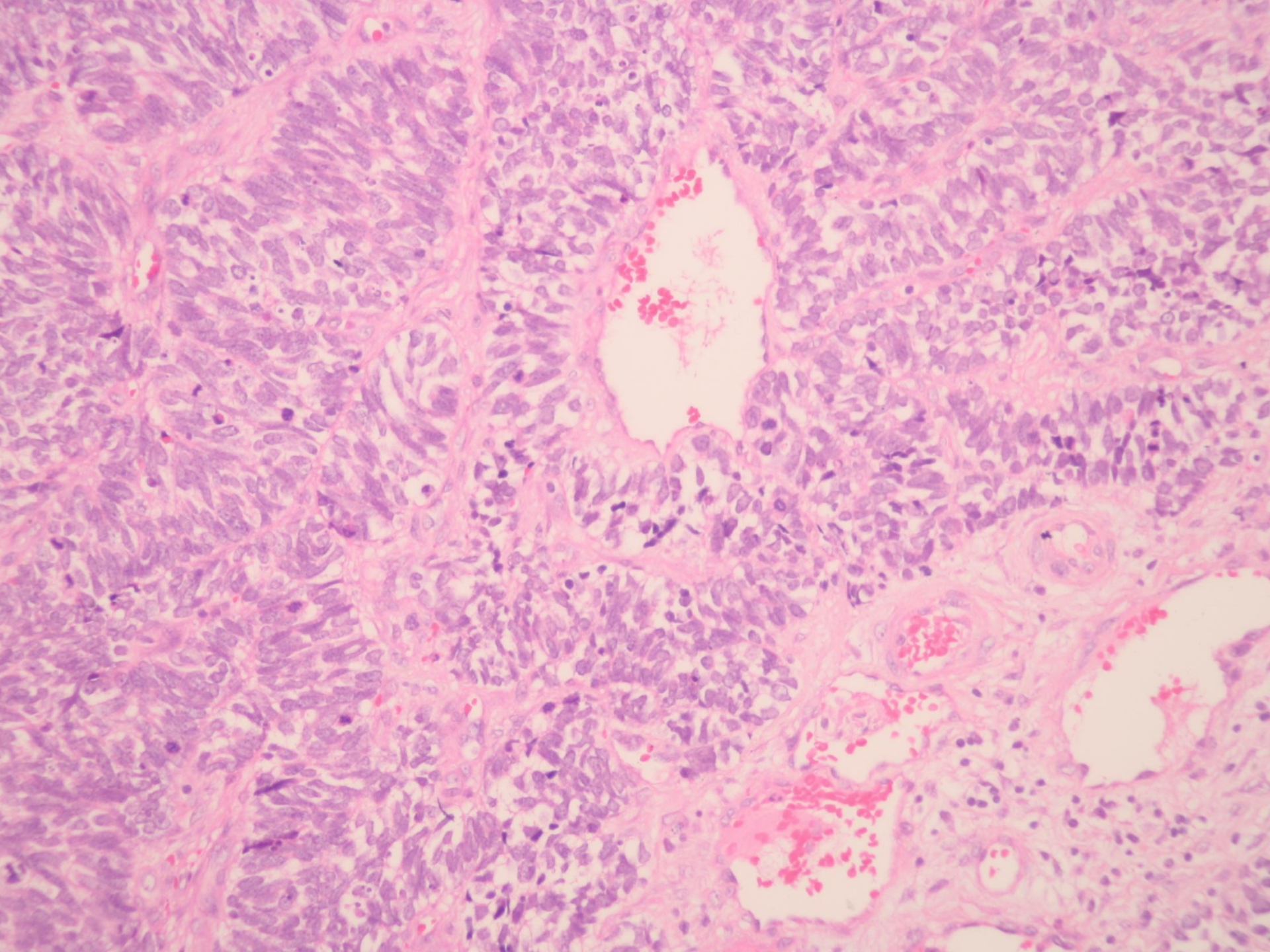
Negatif Immünfenotip

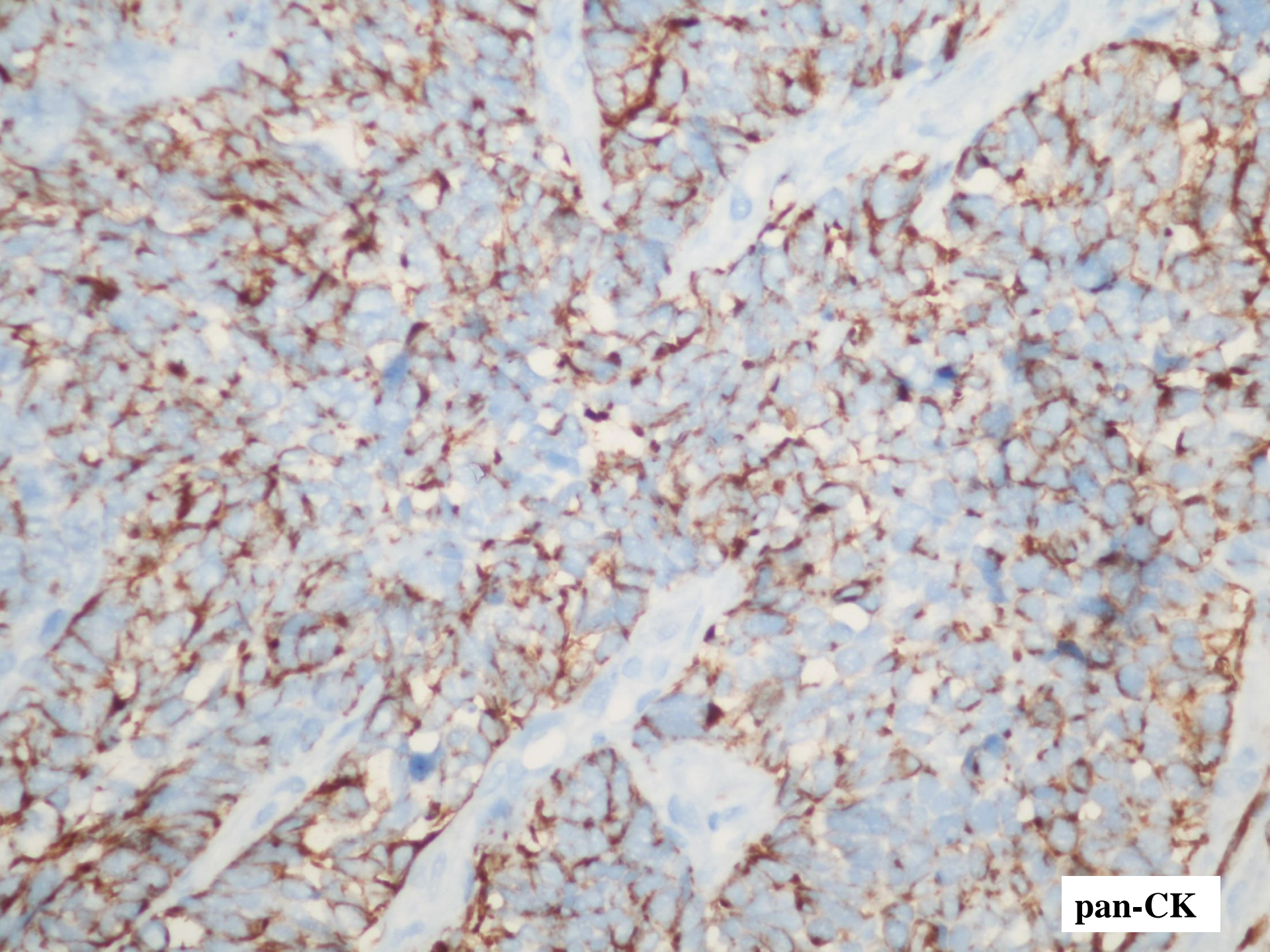
- CK7
- TTF-1
- SYN
- CD56
- CHR-A
- CD45

Akciğerin skuamöz hücreli karsinom metastazı

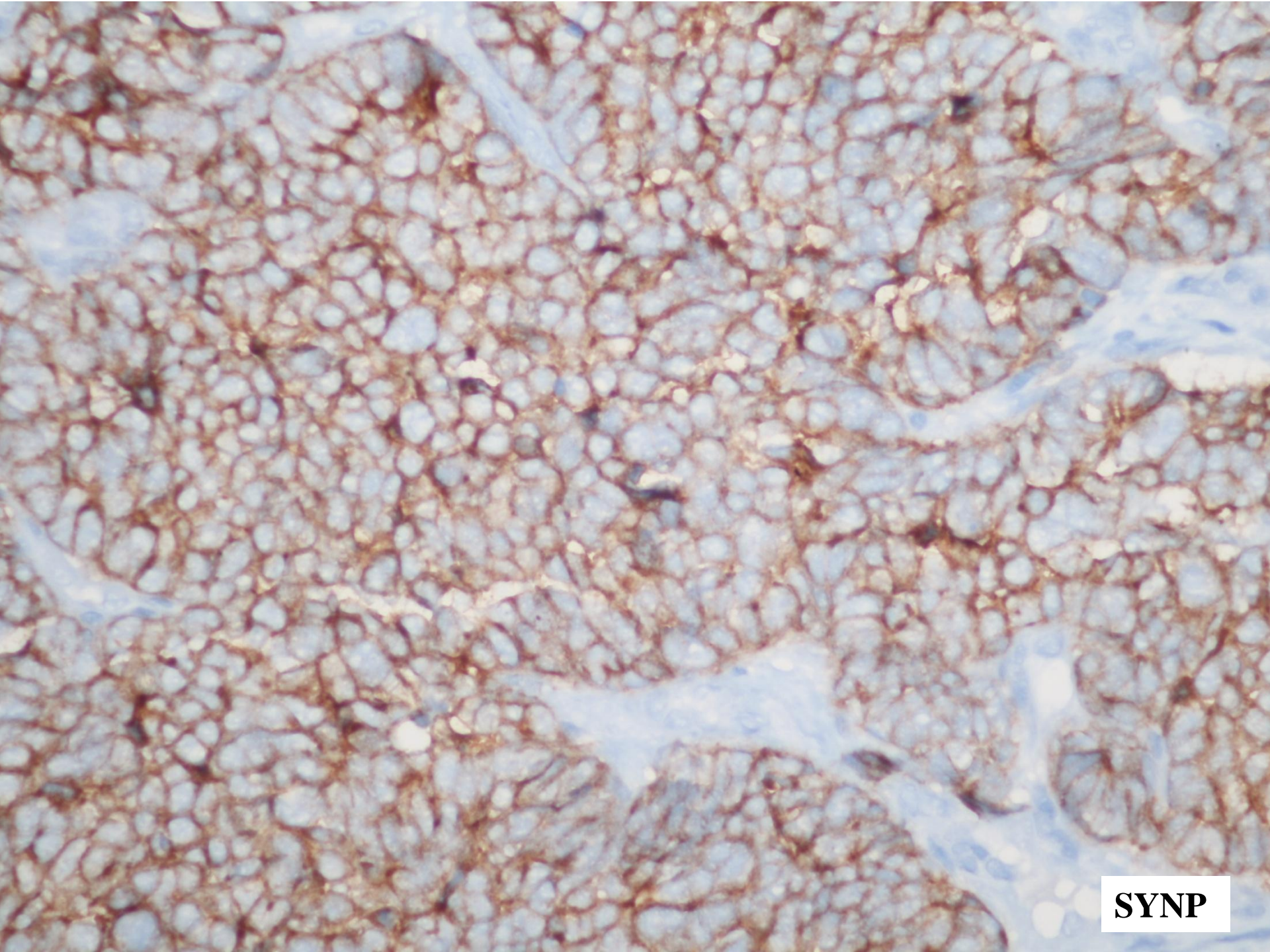
Olgu 4

- 76/K
- Akciğer bx tanısı: KHK
- Plevra bx

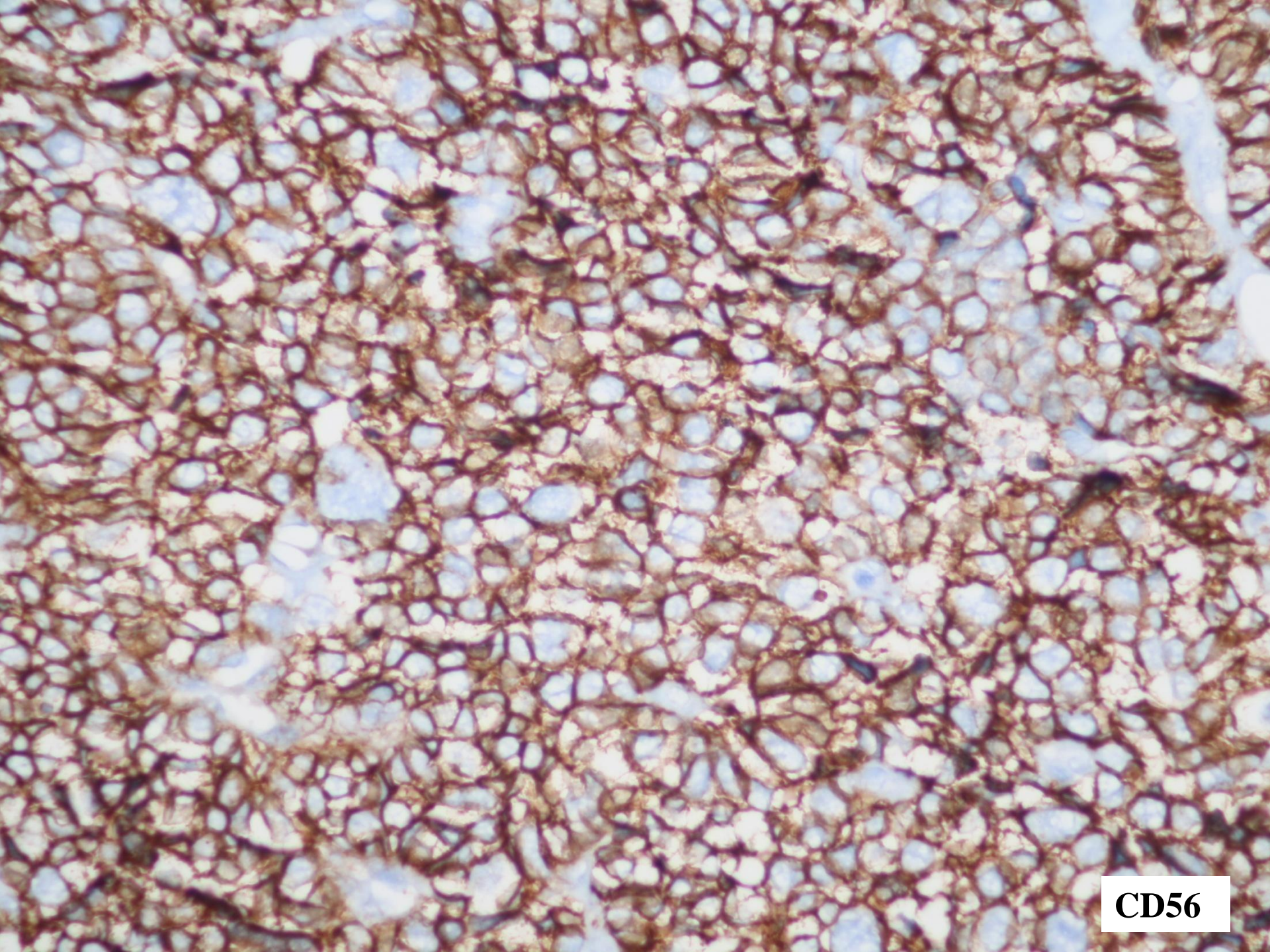




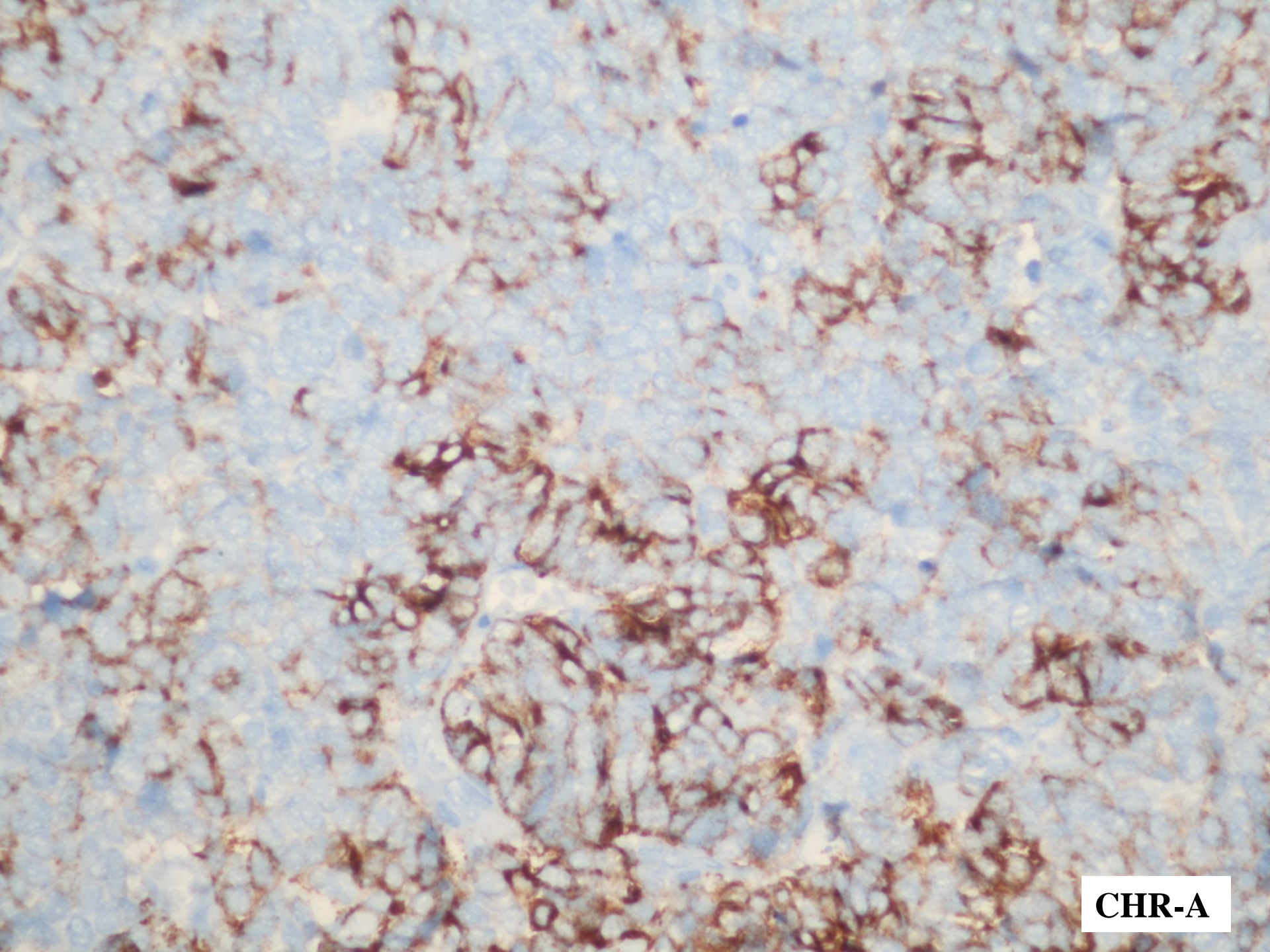
pan-CK



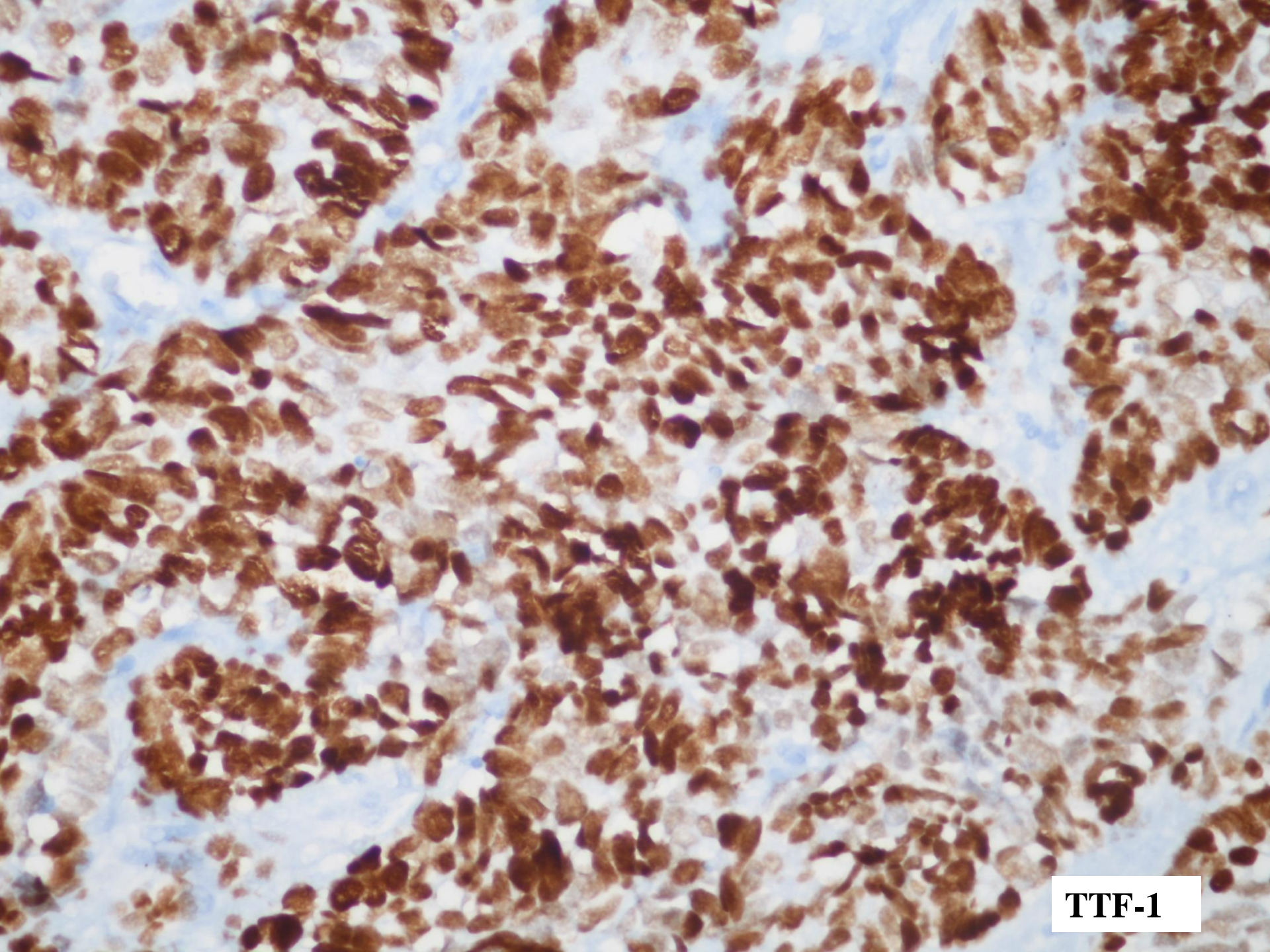
SYNP



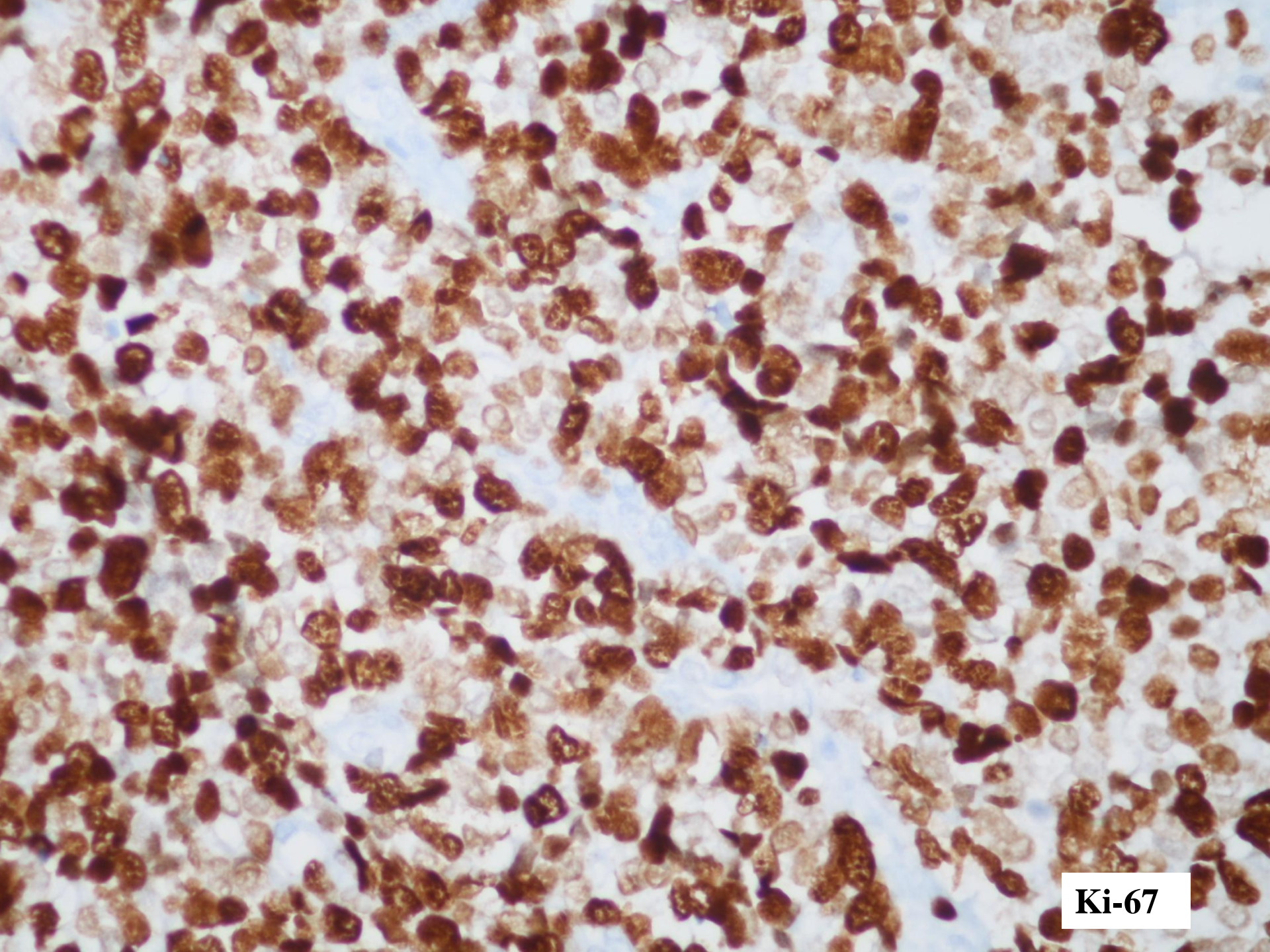
CD56



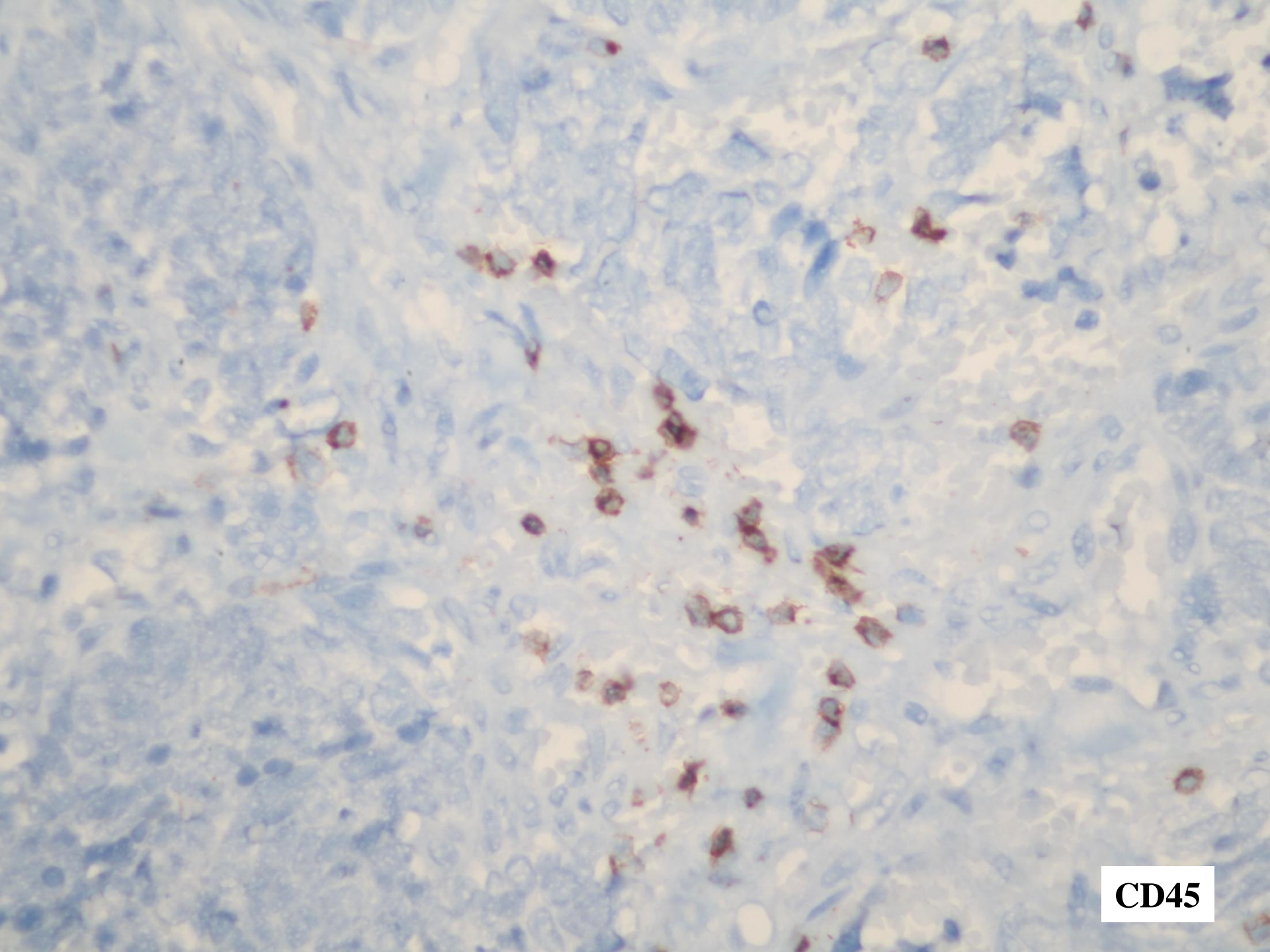
CHR-A



TTF-1



Ki-67

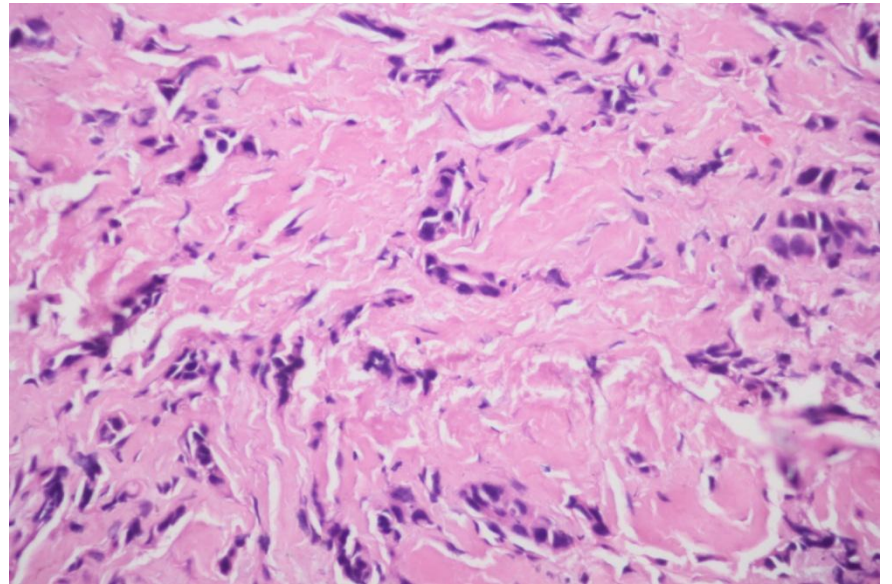
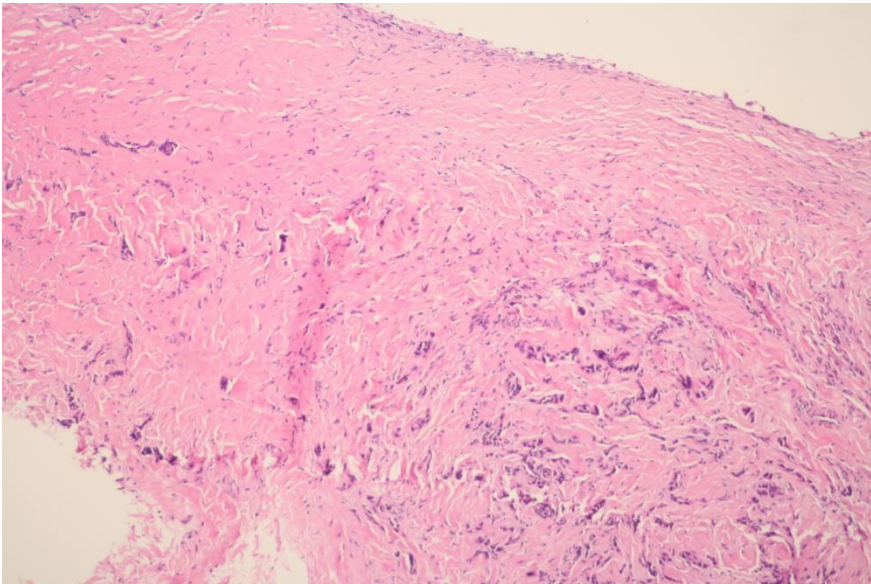
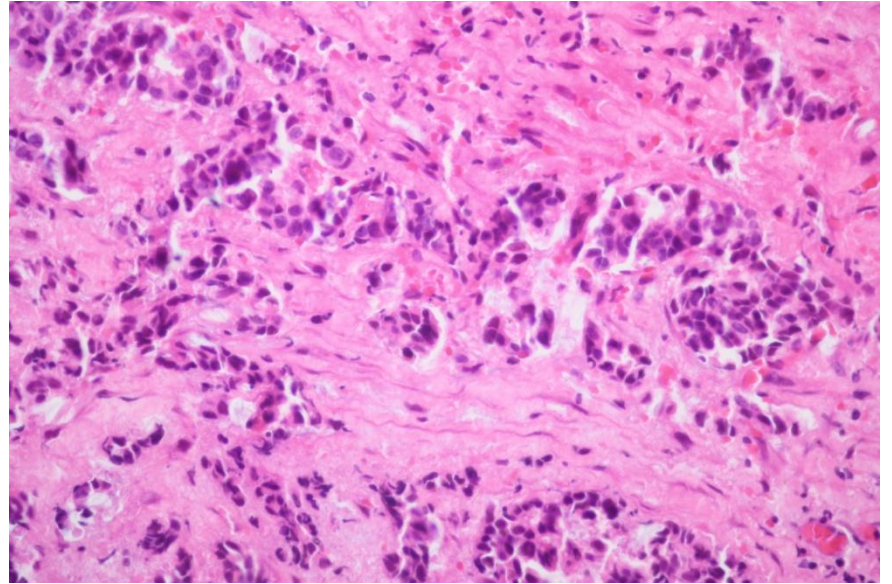
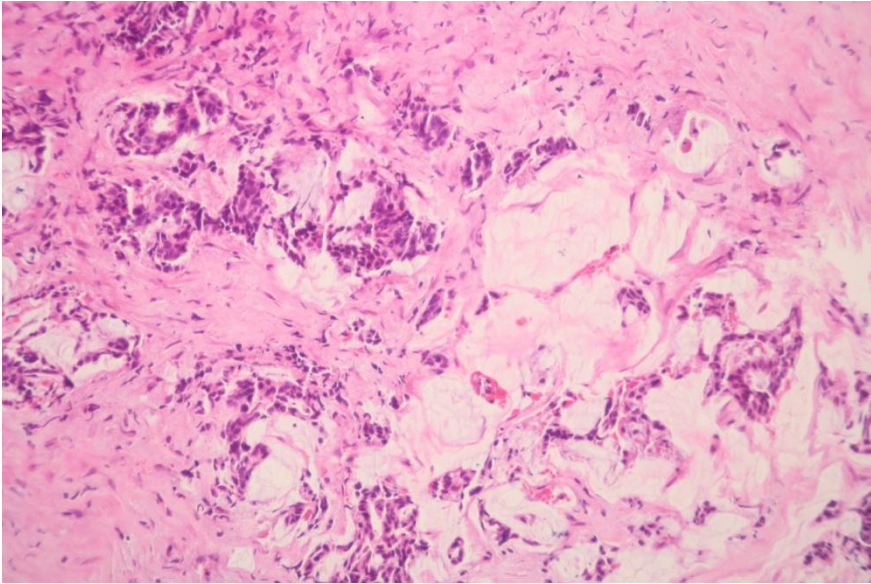


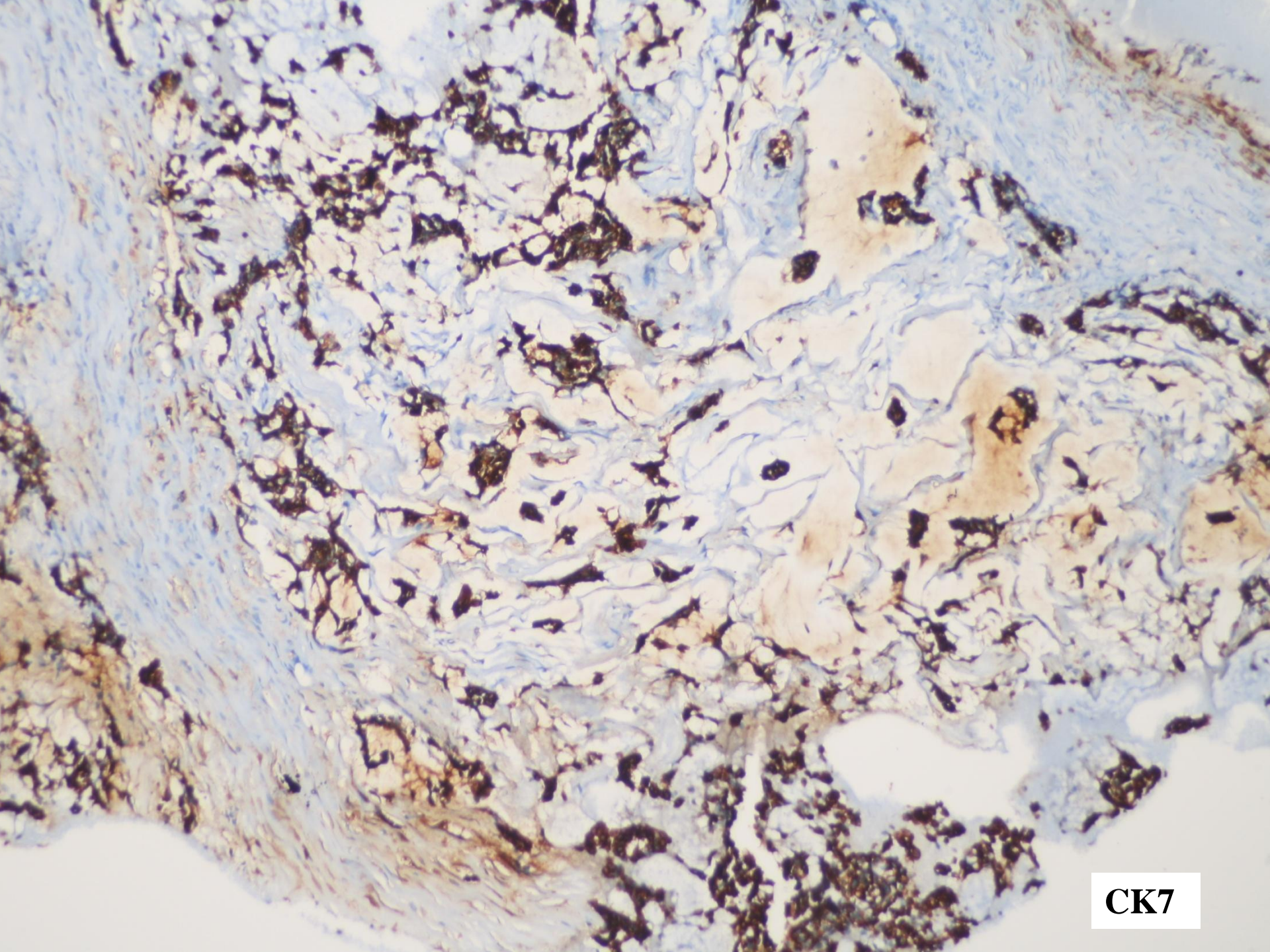
CD45

Akciğerin küçük hücreli karsinom metastazı

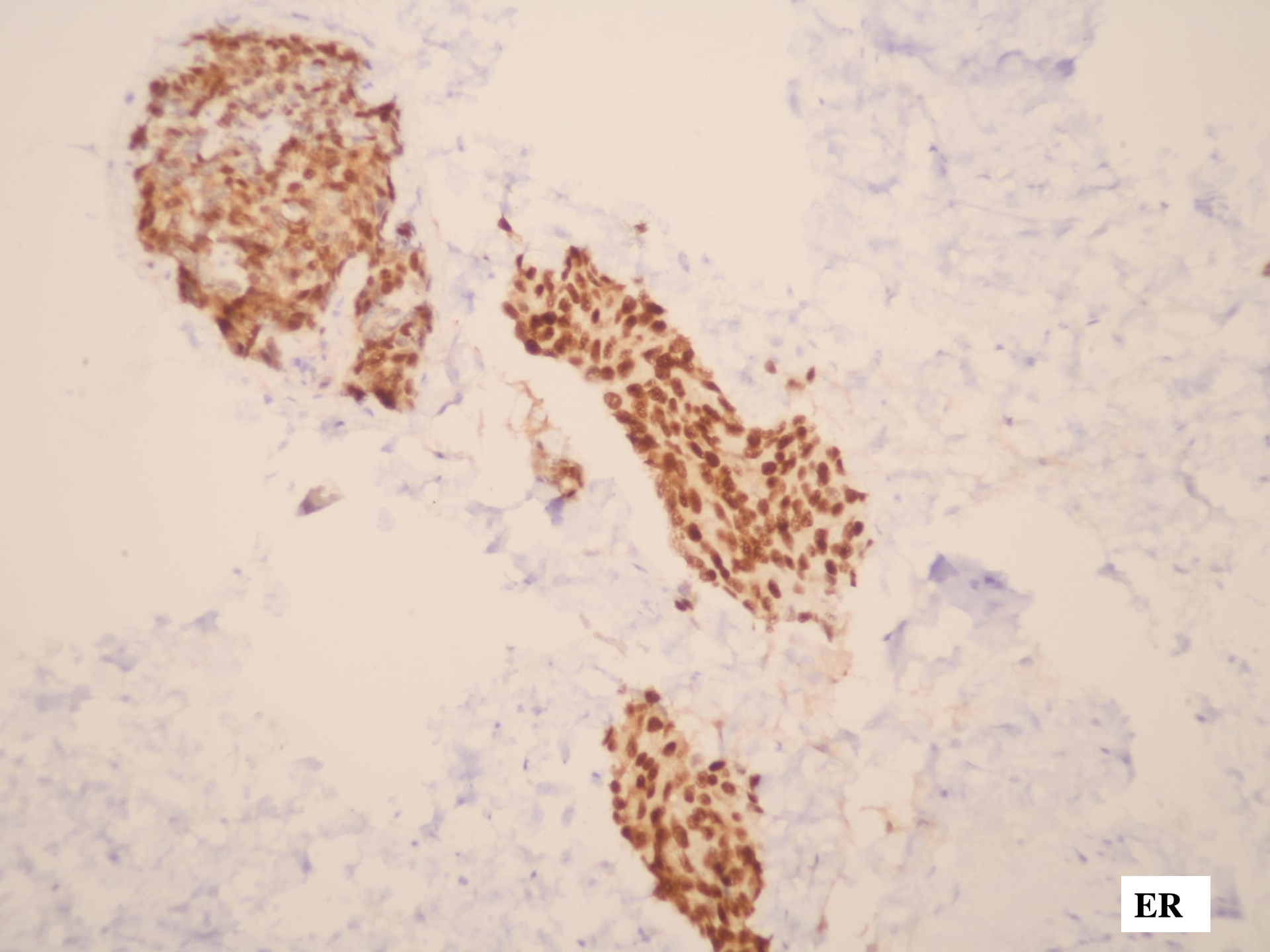
Olgu 5

- 57/K
- Sağ meme ca öyküsü
- Sağda plevral efüzyon, plevrada multipl metastatik nodül
- Plevra bx

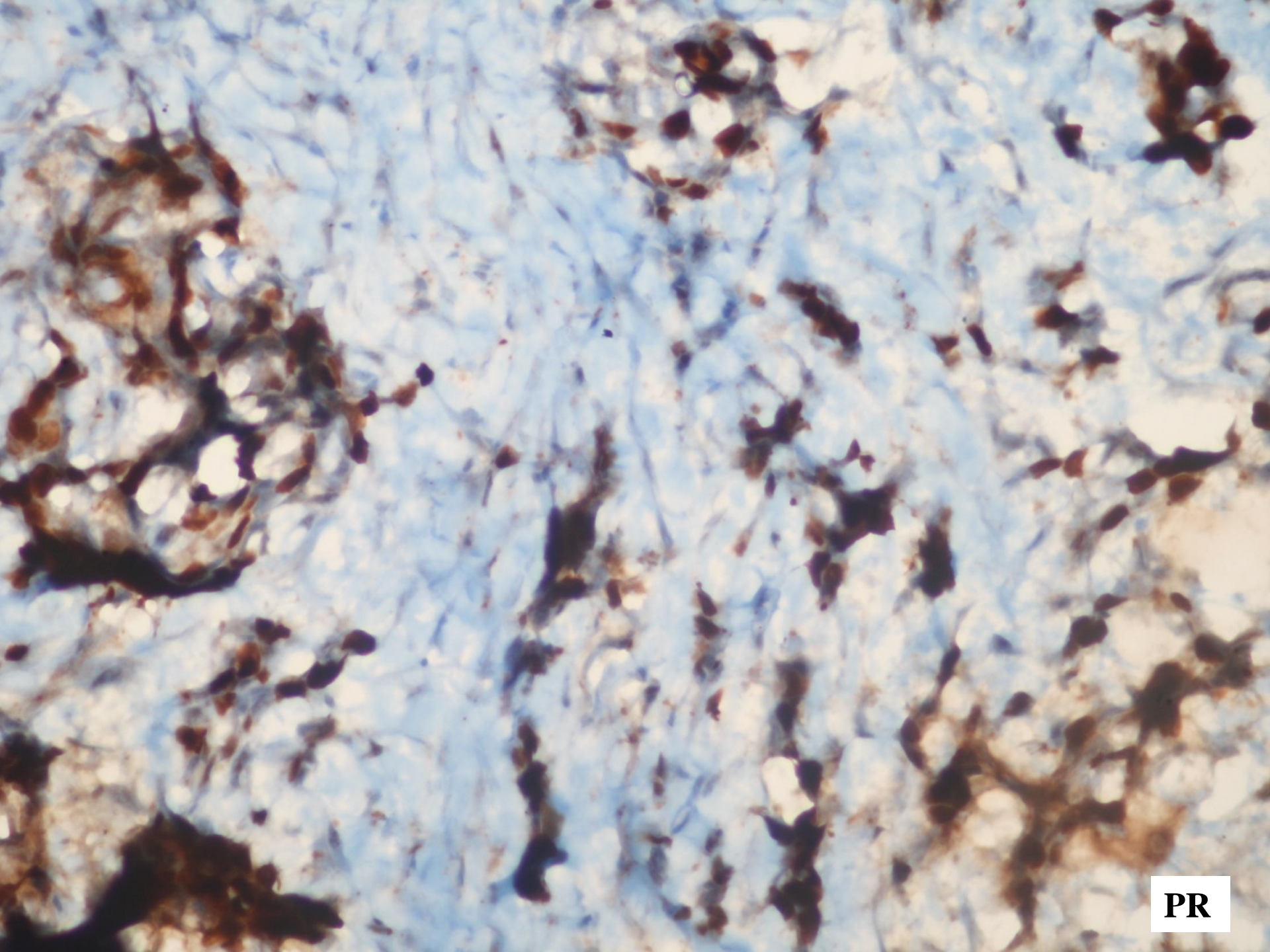




CK7



ER



PR

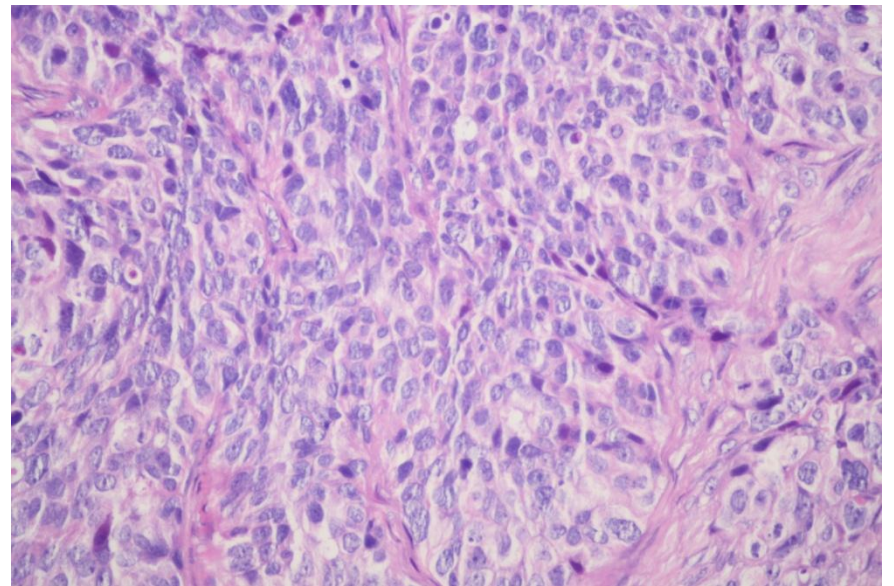
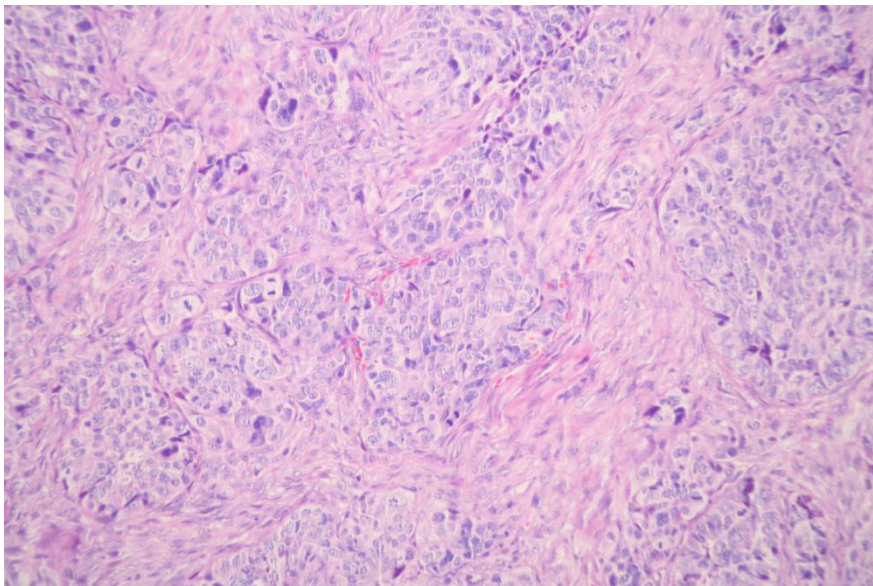
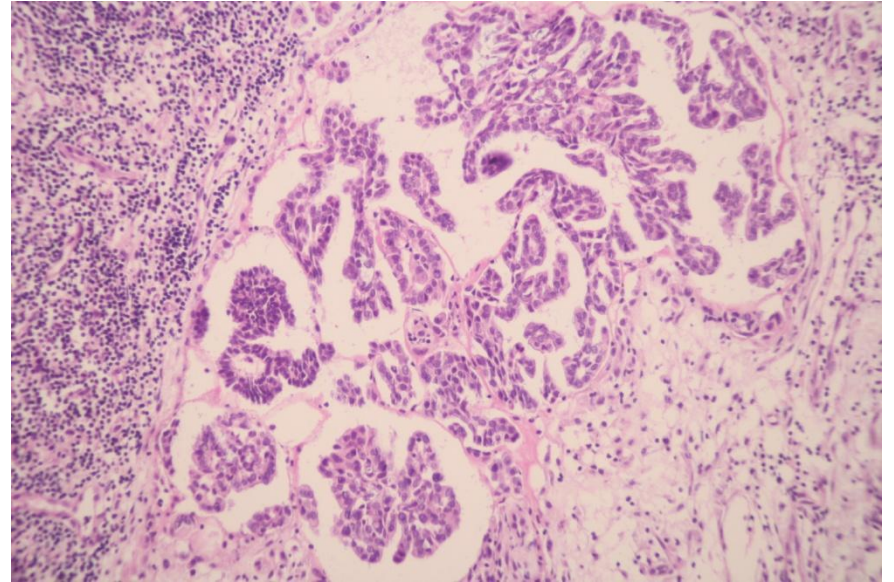
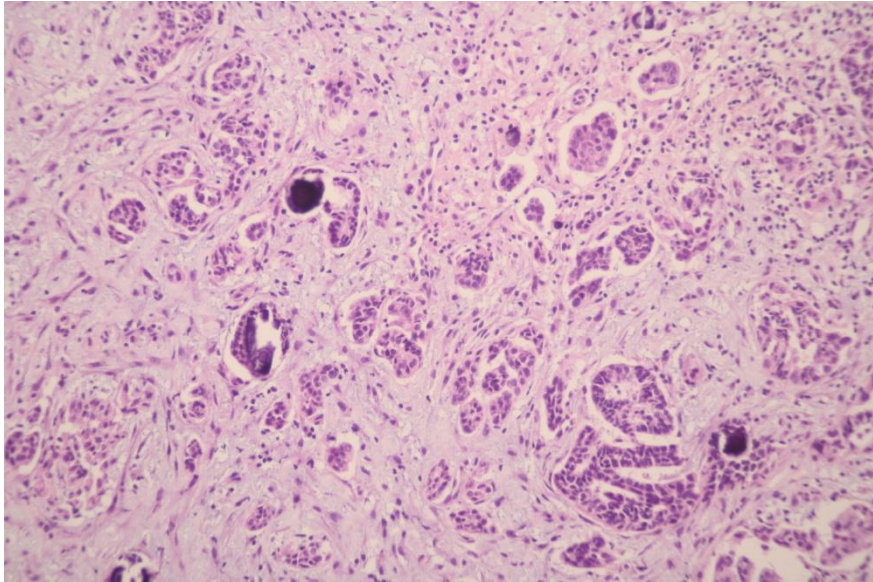
Negatif Immünfenotip

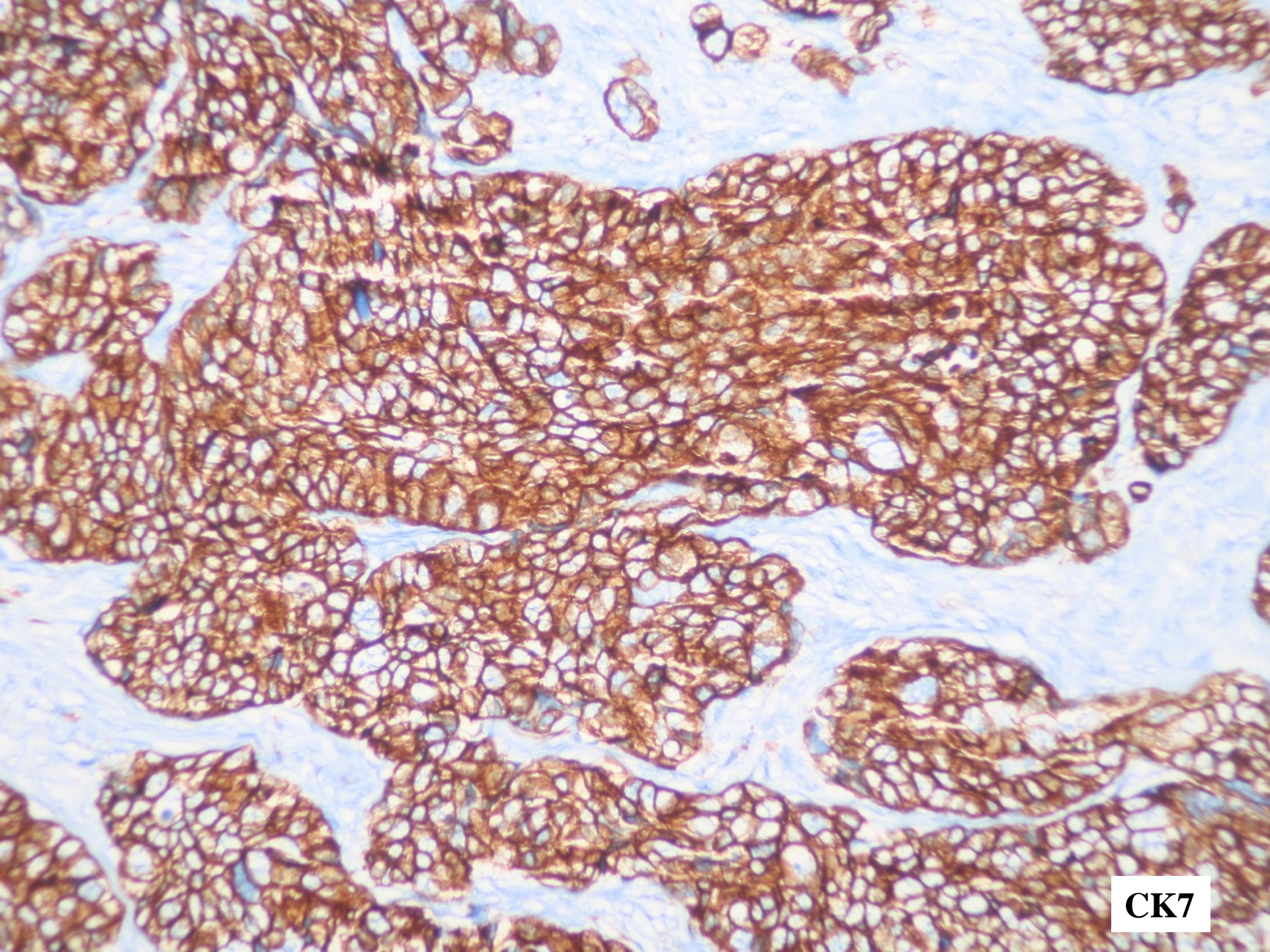
- CK20
- TTF-1
- CerbB2
- GCDFP-15

Meme karsinom metastazi

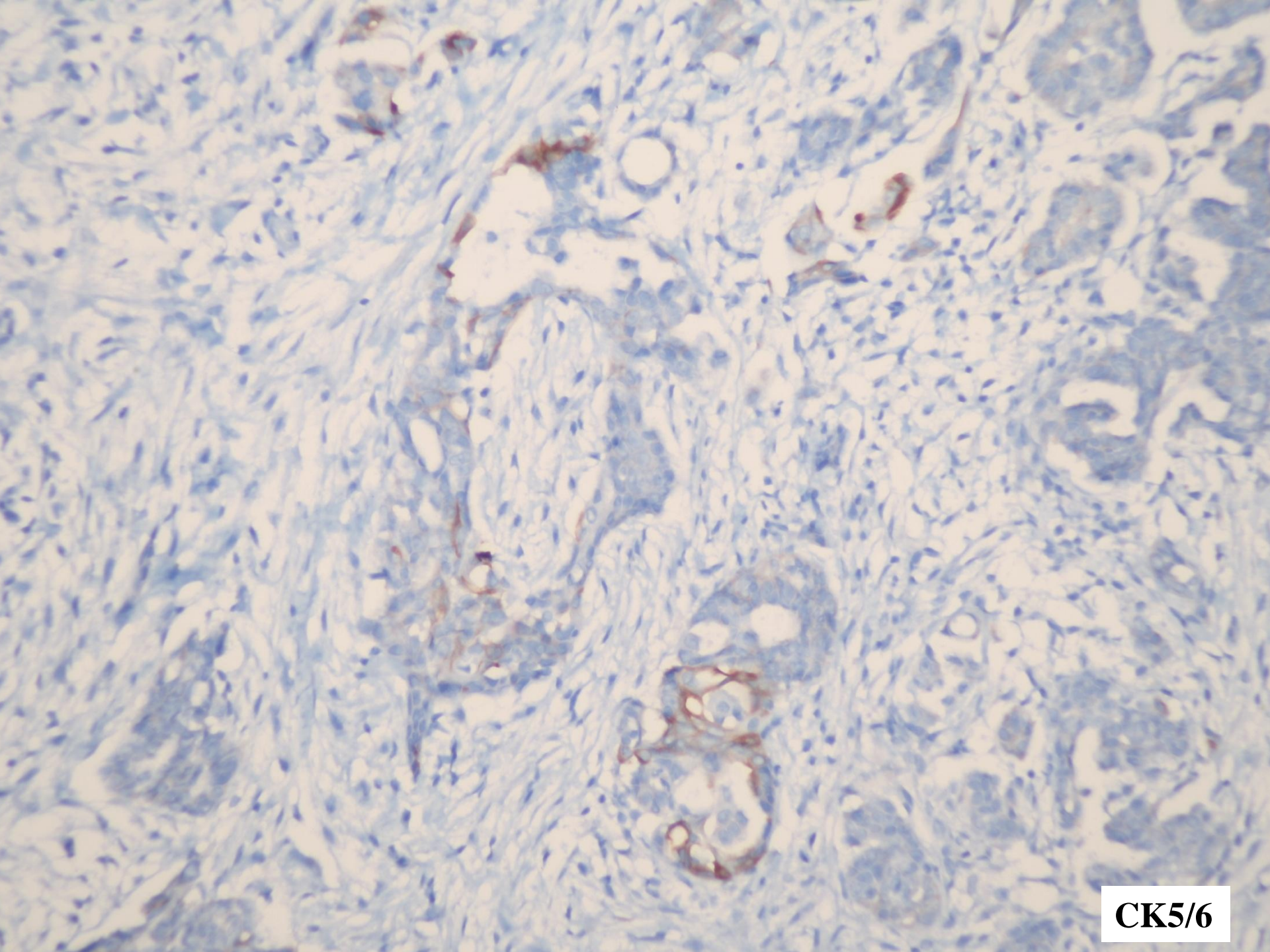
Olgu 6

- 62/K
- Sağ akciğer bazalinde plevral kalınlaşma ve efüzyon
- Sağ overde 35 mm, sol overde 30 mm çapında solid kitleler
- Periton yüzeyinde ve omentumda yumuşak doku lezyonları (periton ve omentum tutulumu)
- Plevra bx

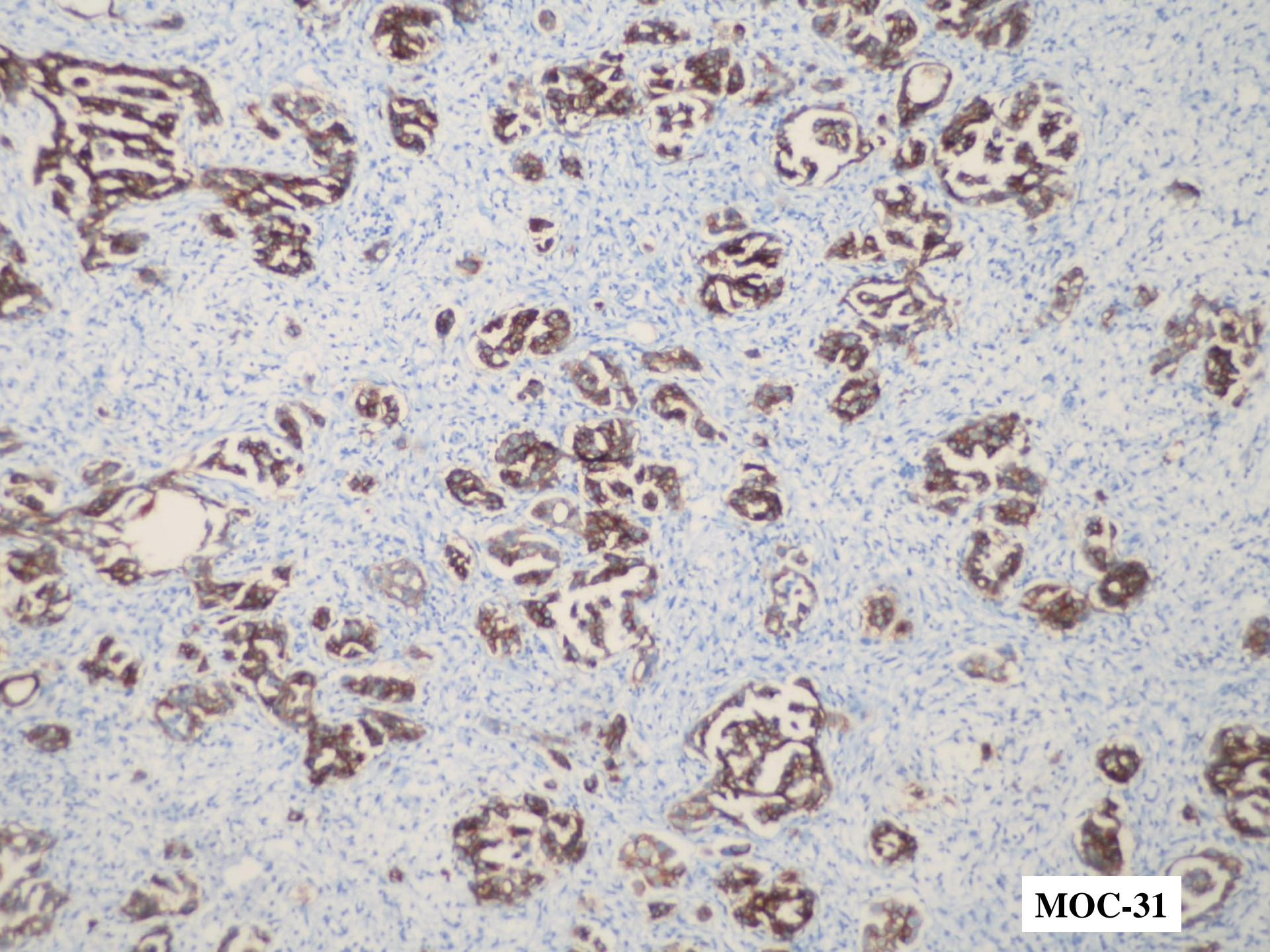




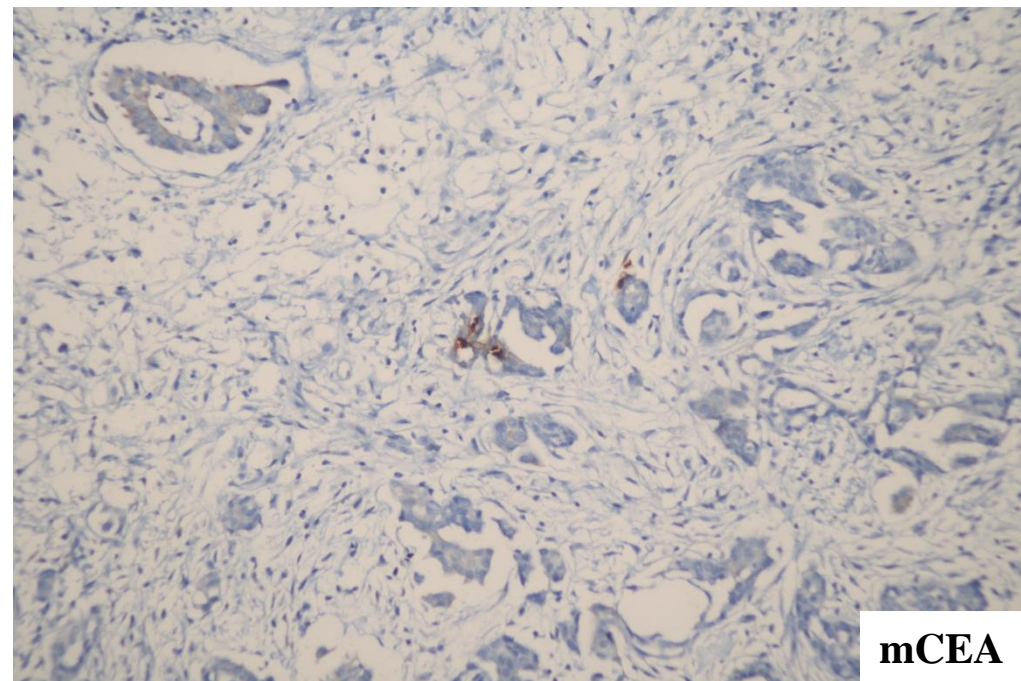
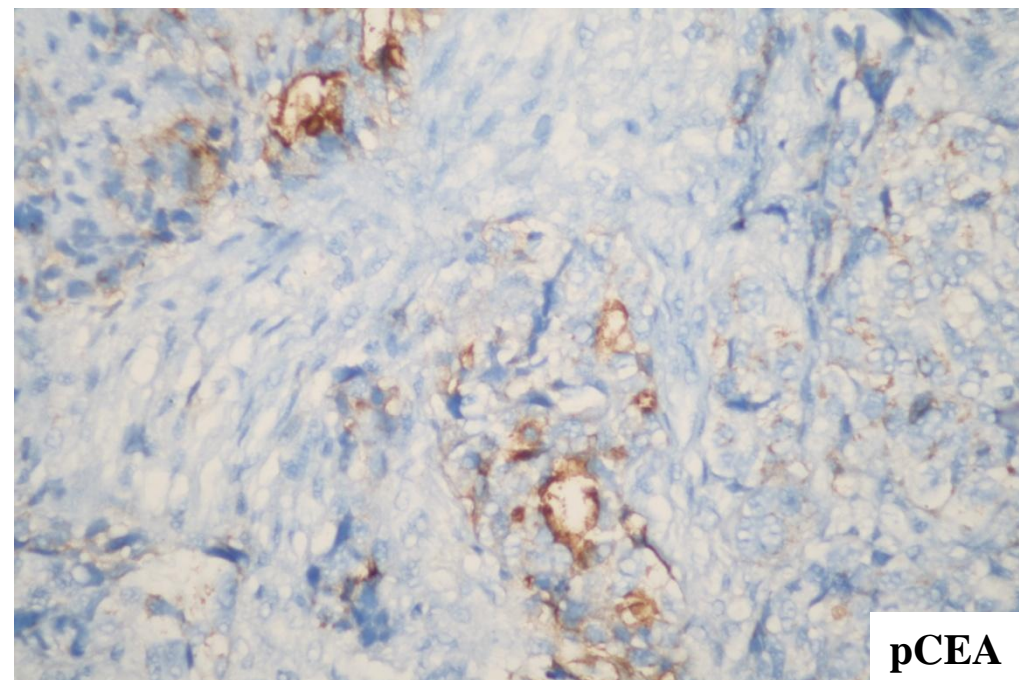
CK7

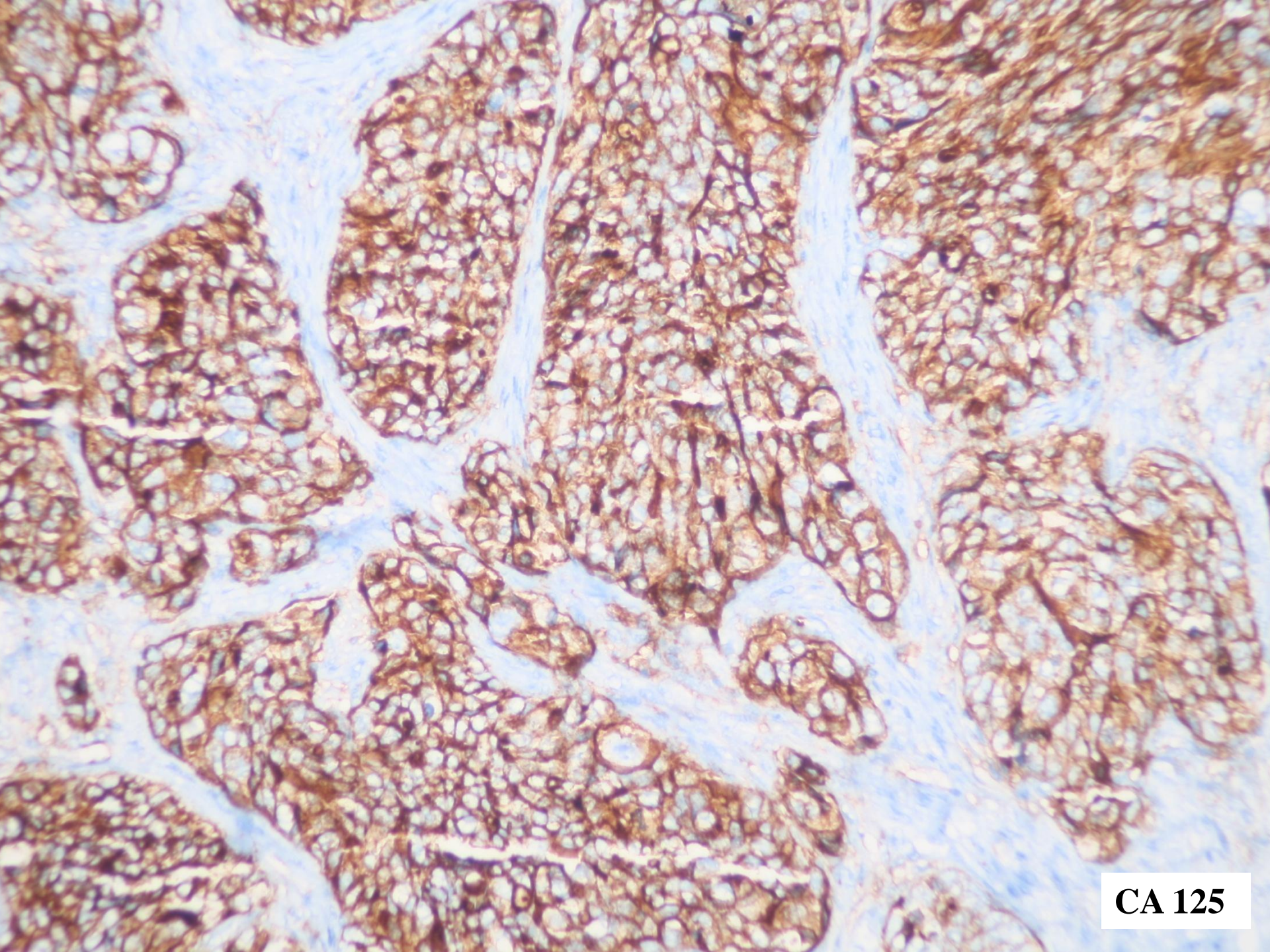


CK5/6

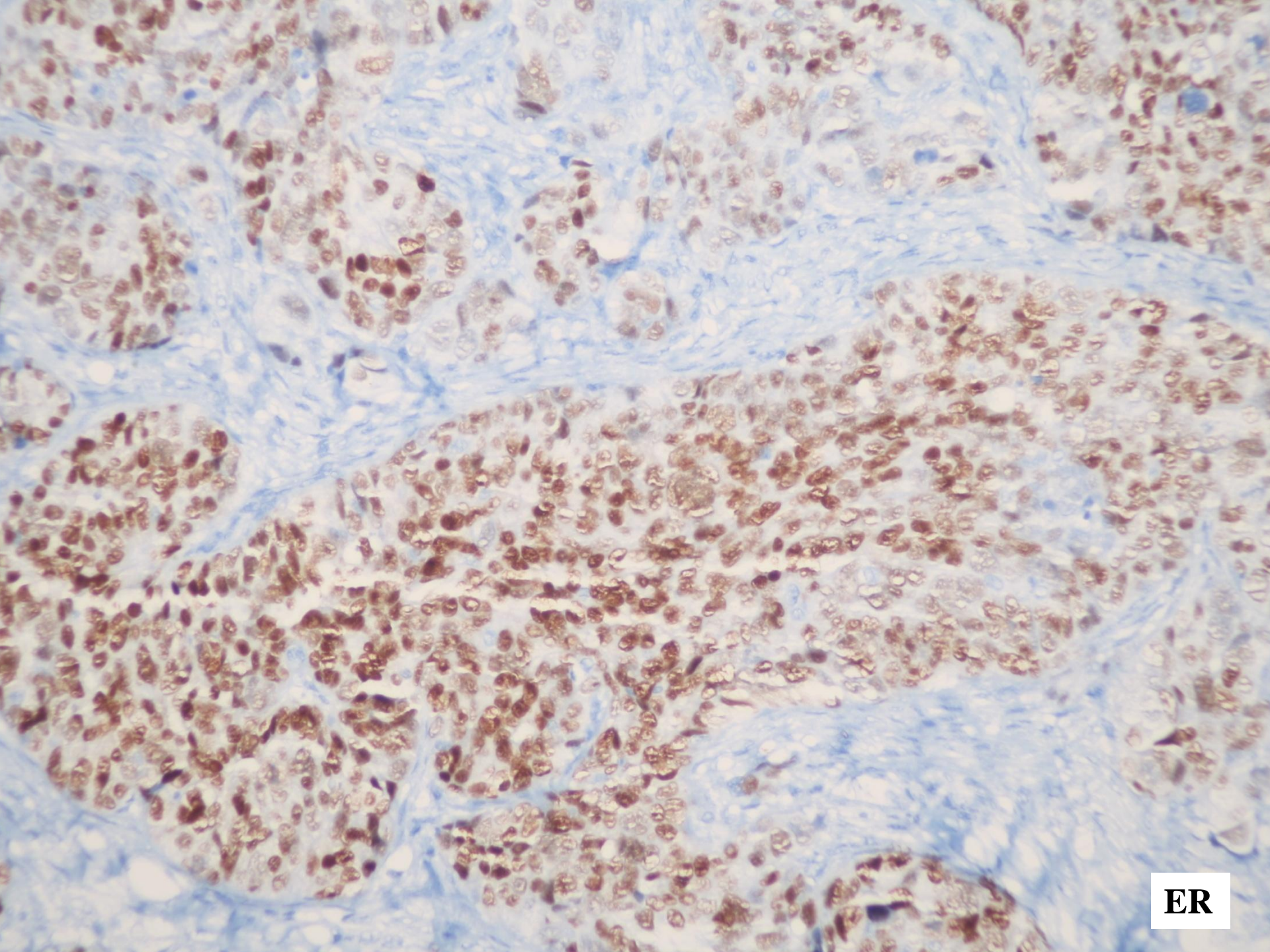


MOC-31

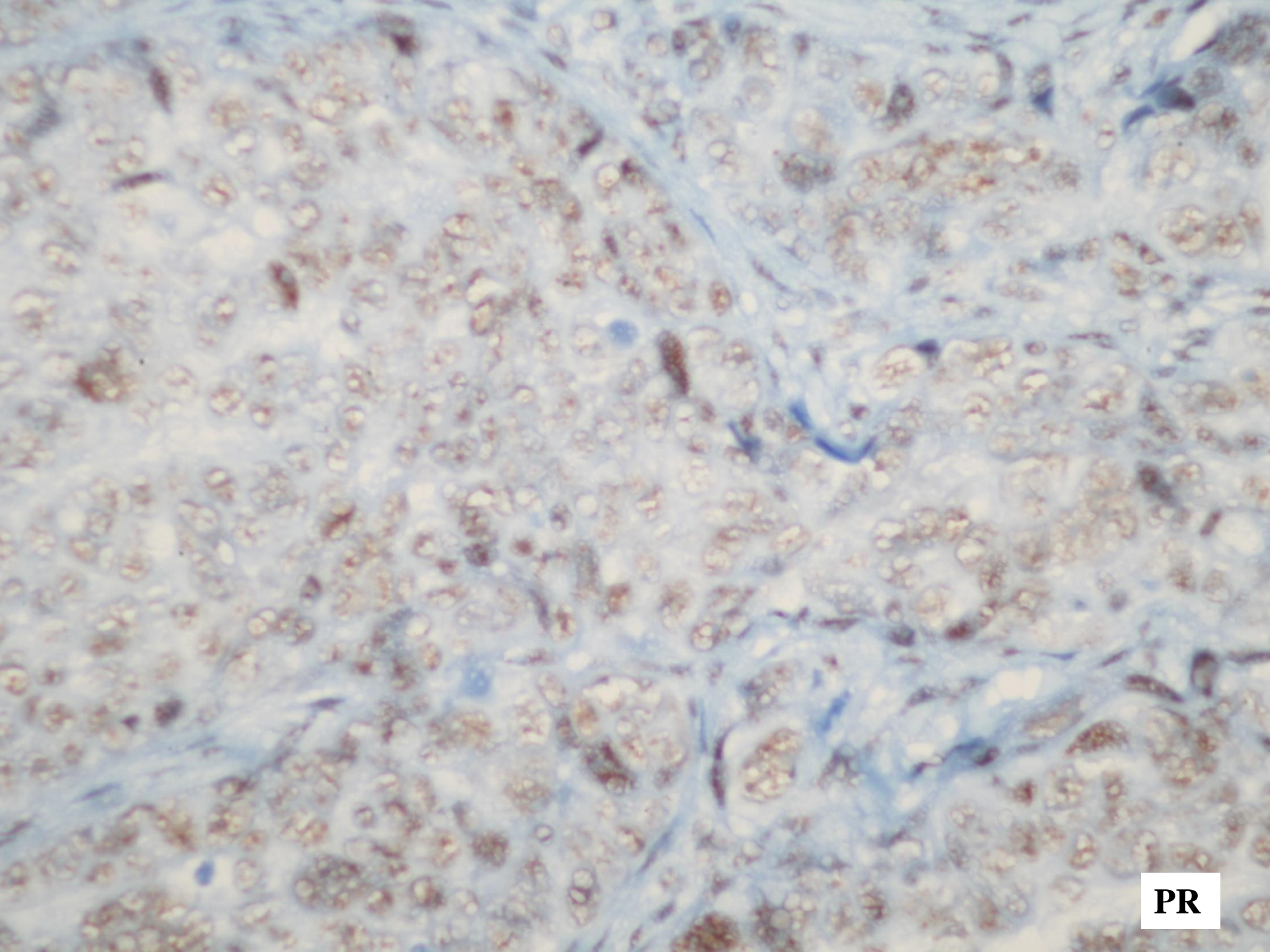




CA 125



ER



PR

Negatif İmmünofenotip

- CK20
- TTF-1
- Calretinin
- D2-40

Over karsinom metastazı

Recognition of Histopathologic Patterns of Diffuse Malignant Mesothelioma in Differential Diagnosis of Pleural Biopsies

Timothy Craig Allen, MD, JD

(Arch Pathol Lab Med. 2005;129:1415–1420)

Metastatik Karsinomlar ile Epitelioid Mezotelyomanın İmmünofenotipik Ayırıcı Tanısı

Metastatik Ca	İHK	
	Metastatik Ca Lehine	Epitelioid Mezotelyoma Lehine
Meme ca	ER/PR, mammaglobin, GATA-3, GCDFP-15	Calretinin, D2-40, podoplanin, WT-1, mesothelin
Over ca	B72.3, BG-8, ER/PR, CA 125, CA 19-9	Thrombomodulin, CK5/6
Kolorektal ca	CK20, CDX-2, villin	Calretinin, CK7, CK5/6, D2-40, podoplanin, WT-1, mesothelin
Endometrium ca	B72.3, BG-8, ER/PR, CA 125	Thrombomodulin, CK5/6
Renal hücreli ca	RCC, PAX-2	CK5/6, CK7, D2-40, podoplanin, WT-1, calretinin, mesothelin
Prostat ca	PSA, PAP, prostein, NKX3.1	Calretinin, CK7, CK5/6, D2-40, podoplanin, WT-1, mesothelin
İnvaziv ürotelyal ca	CK20, p63, uroplakin III	Calretinin, D2-40, podoplanin, WT-1, mesothelin
Timik ca (timik SHK)	CD5, CD70, CD117, p63, NE belirleyiciler (SYNP, CHR-A, CD56)	Calretinin, D2-40, podoplanin, WT-1, mesothelin
Hepatoselüler ca	HepPar-1, albumin, α -fetoprotein, pCEA, villin	Calretinin, CK5/6, CK7, D2-40, podoplanin, WT-1, mesothelin
Tiroid ca	TTF-1, tiroglobulin, calcitonin, NE belirleyiciler (SYNP, CHR-A, CD56)	Calretinin, CK5/6, D2-40, podoplanin, WT-1, mesothelin

Claudin 4 identifies a wide spectrum of epithelial neoplasms and represents a very useful marker for carcinoma versus mesothelioma diagnosis in pleural and peritoneal biopsies and effusions

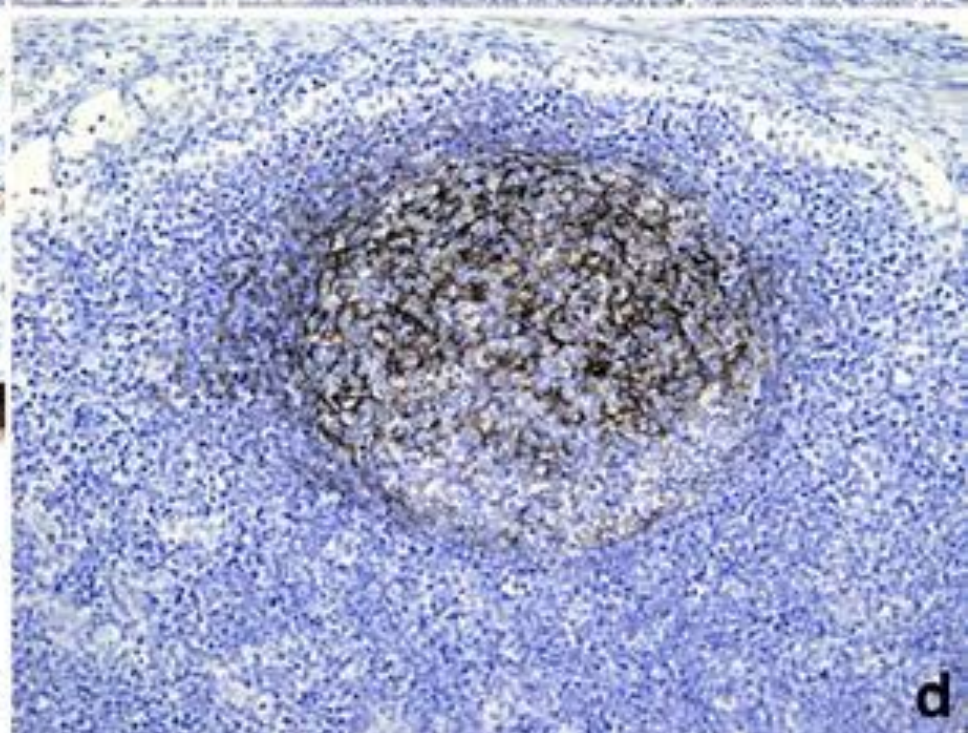
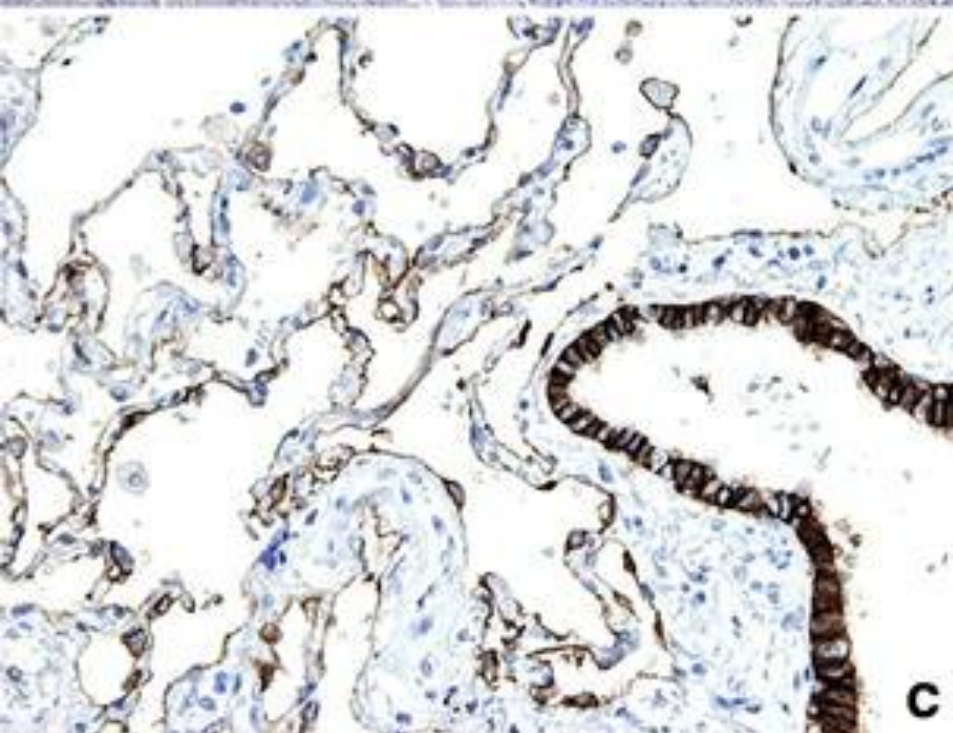
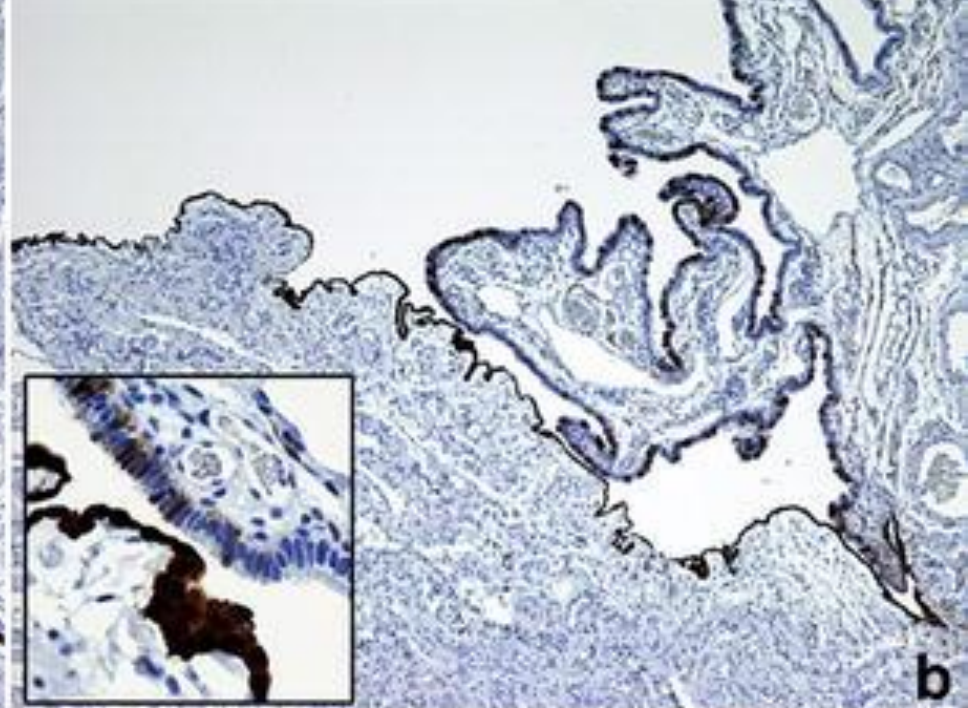
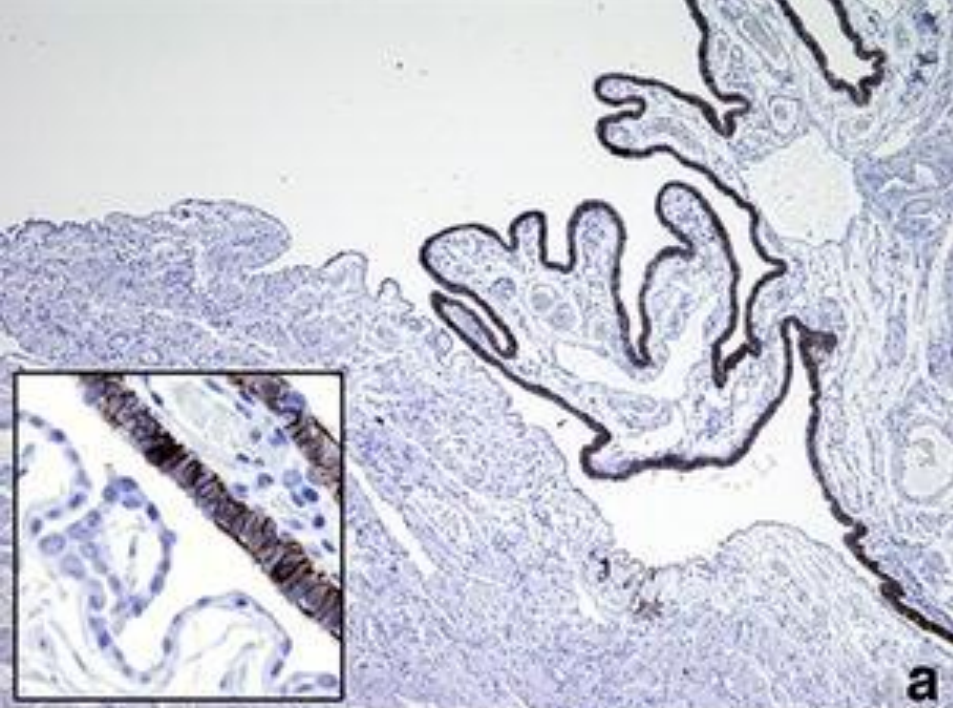
Facchetti F, Lonardi S, Gentili F, Bercich L, Falchetti M, Tardanico R, Baronchelli C, Lucini L, Santin A, Murer B.

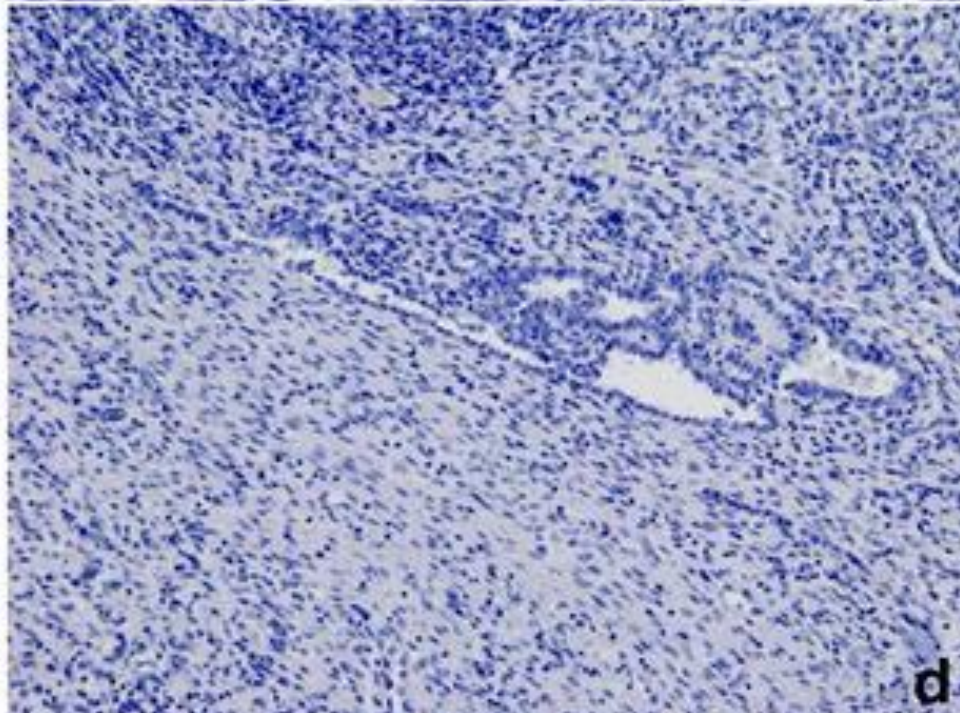
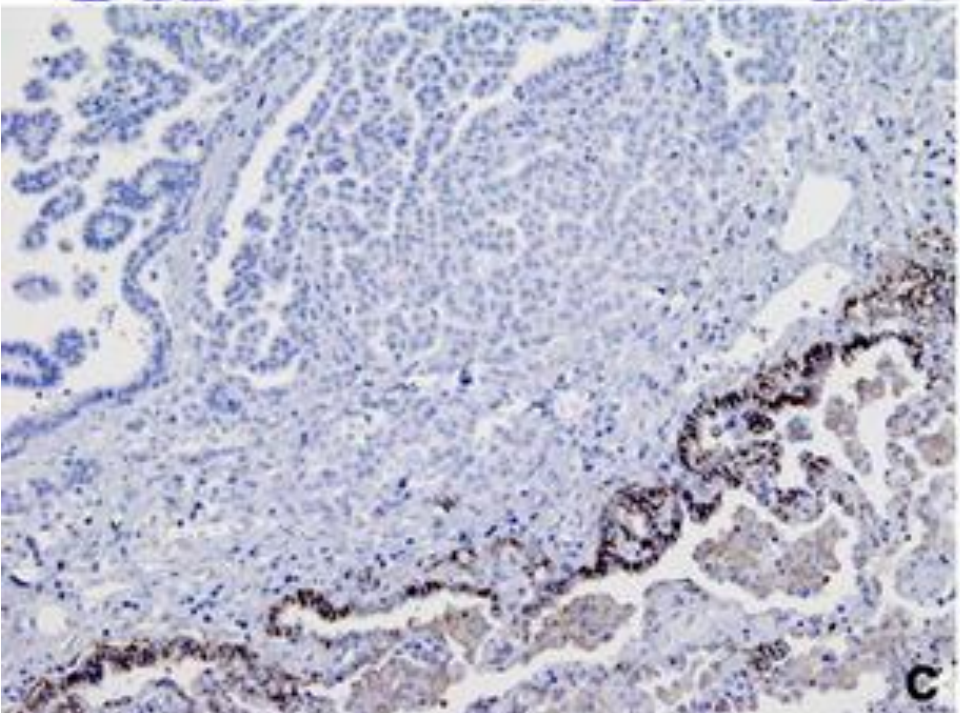
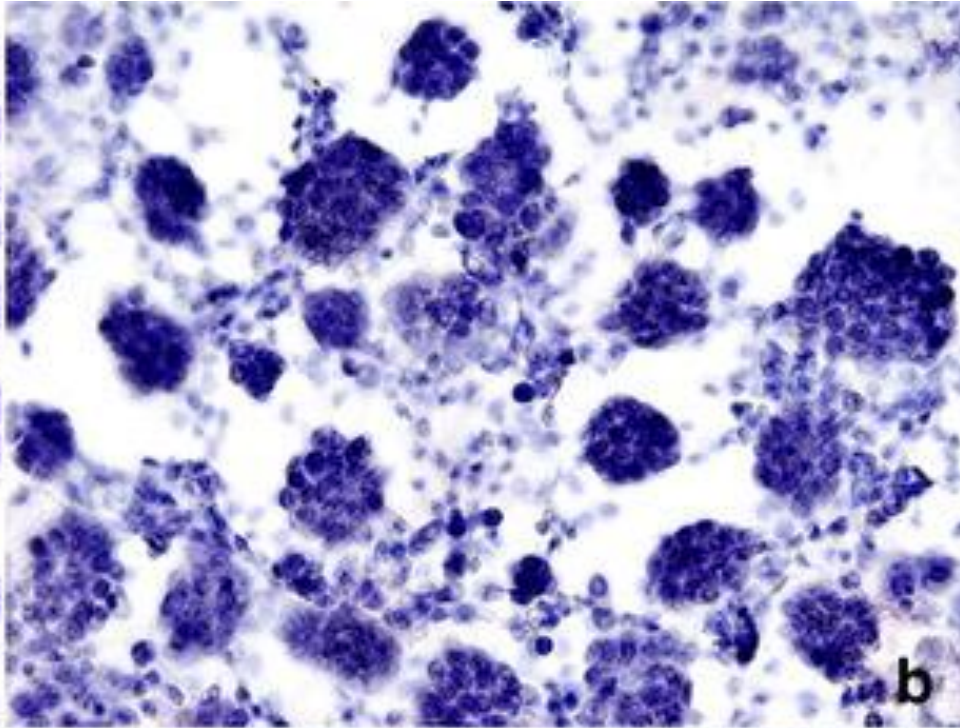
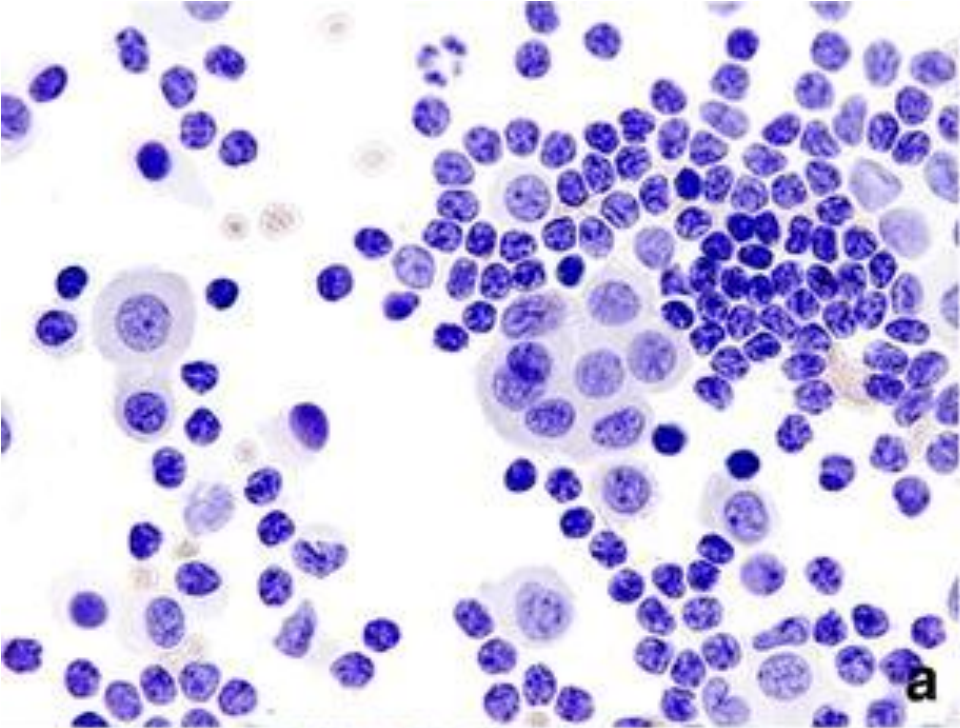
Virchows Arch 2007;451:669-680.

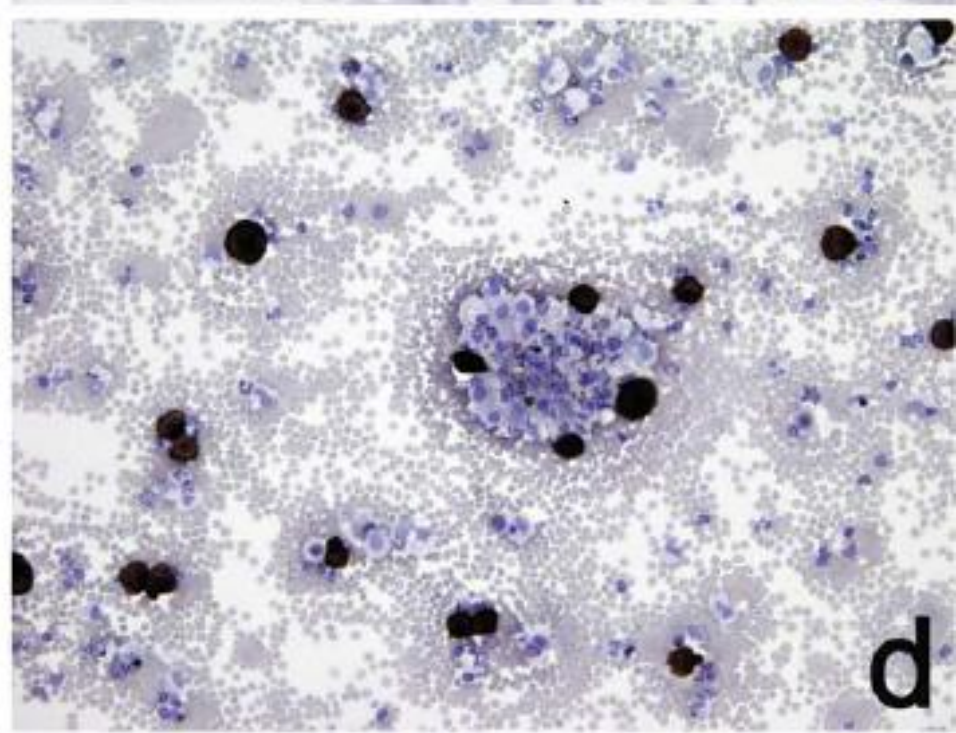
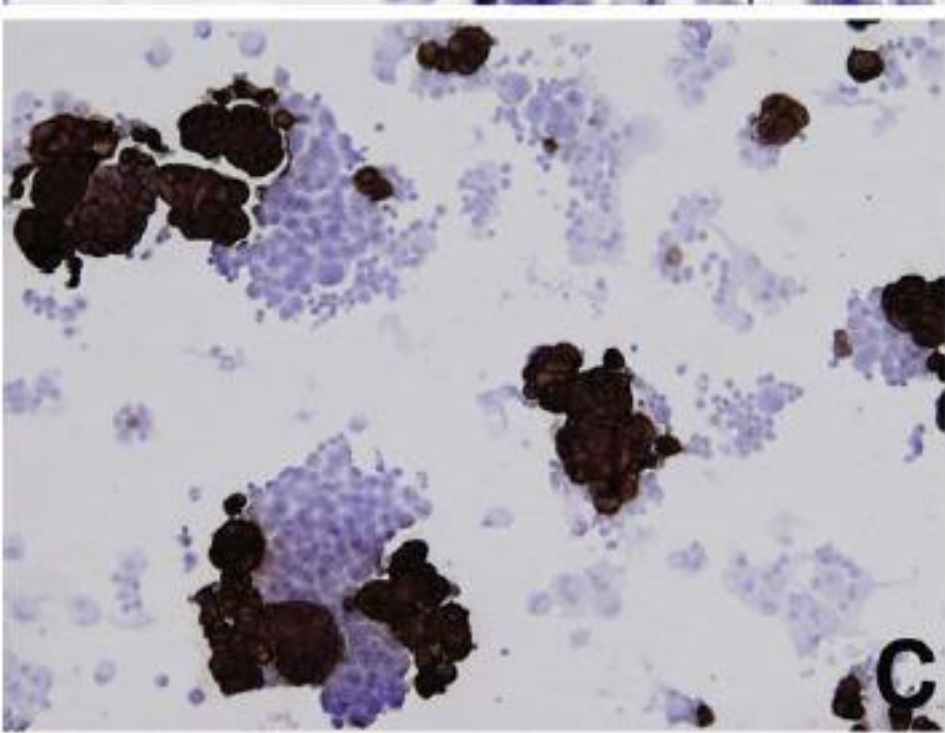
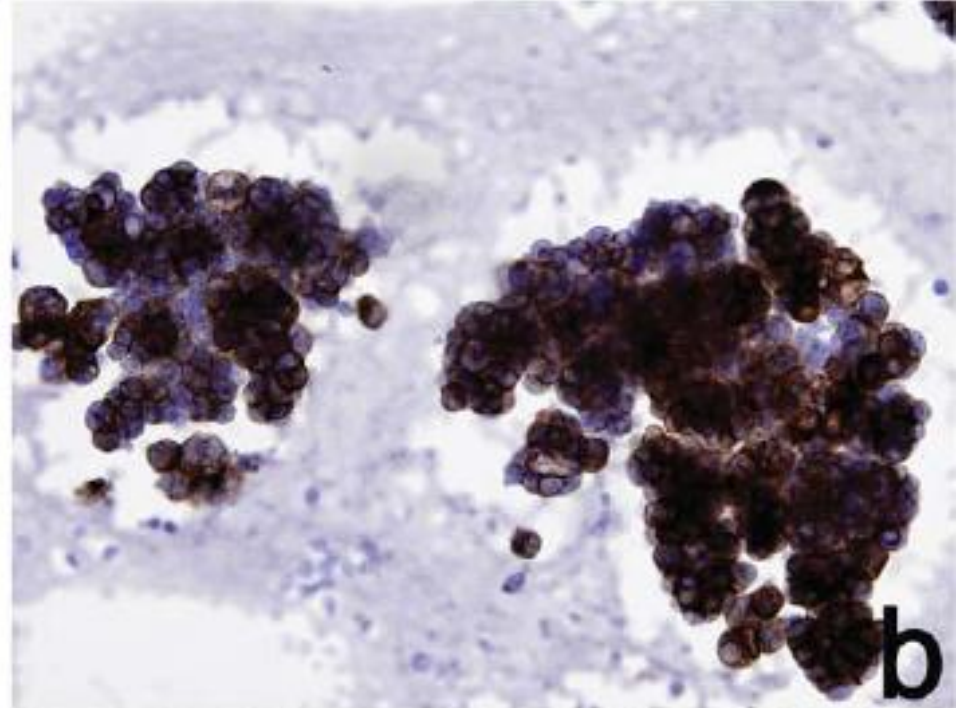
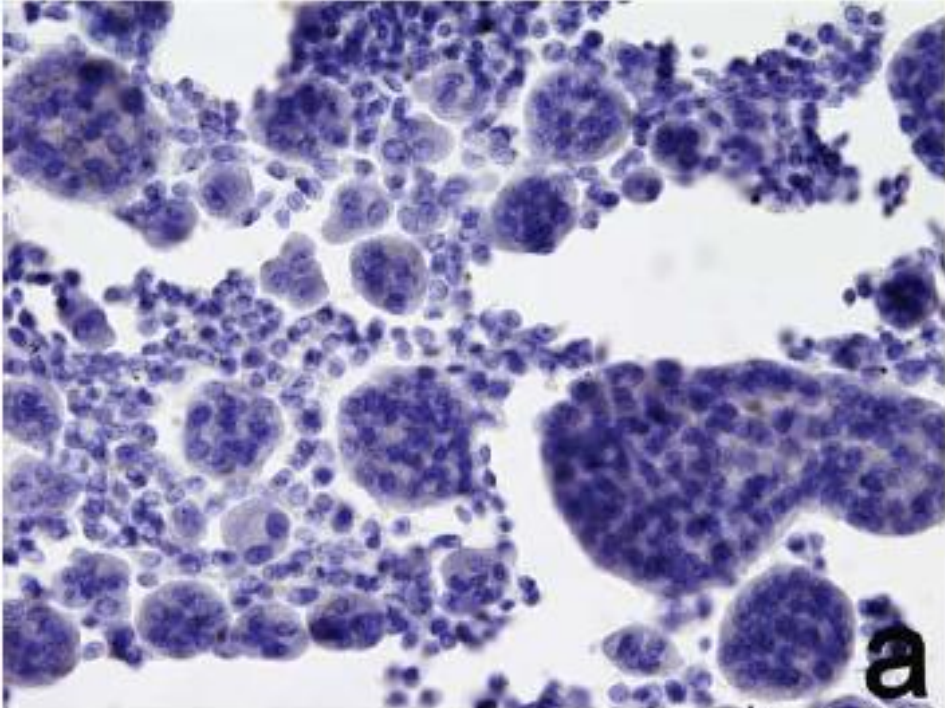
Usefulness of Claudin 4 in the Cytological Diagnosis of Serosal Effusions

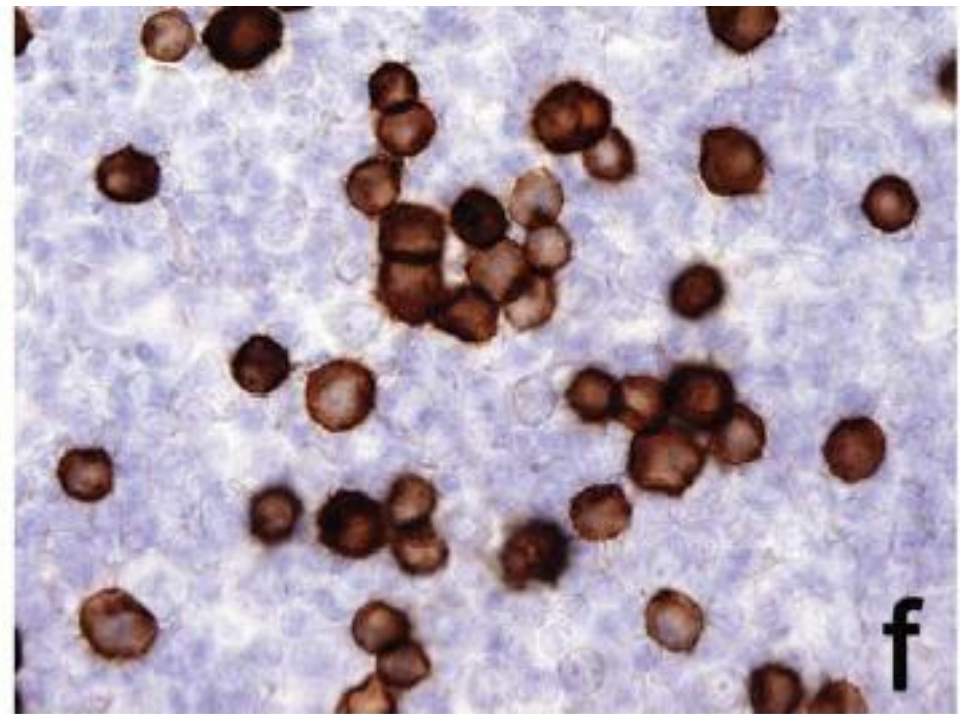
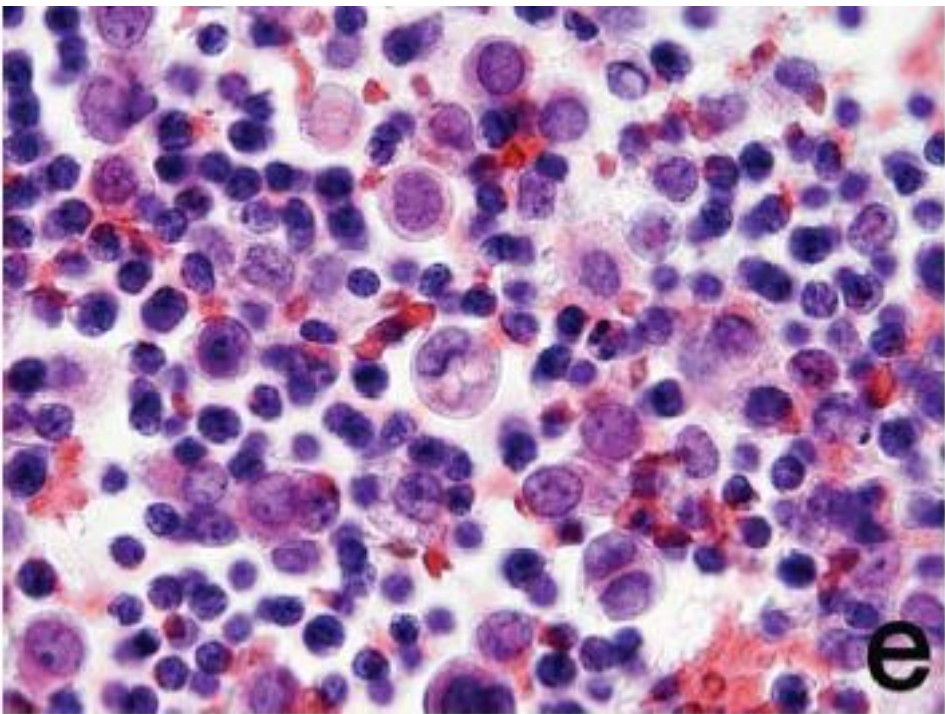
Silvia Lonardi, B.S.,* Calogero Manera, B.S., Raffaella Marucci, B.S., Amerigo Santoro, M.D., Luisa Lorenzi, M.D., and Fabio Facchetti, M.D., Ph.D.

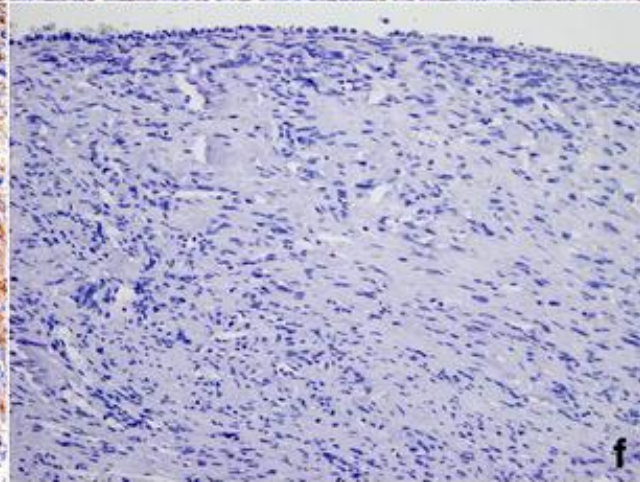
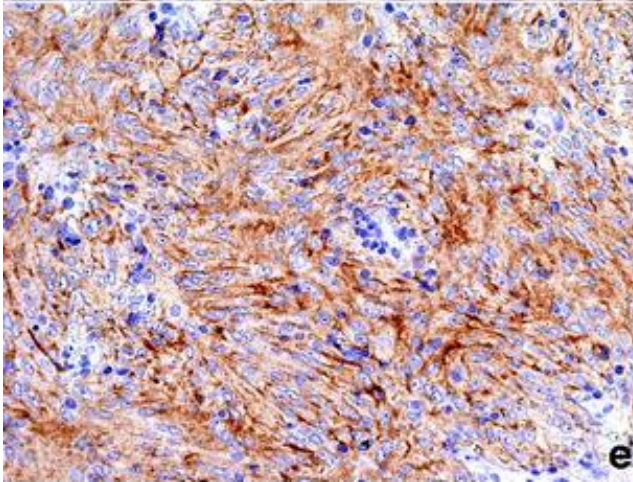
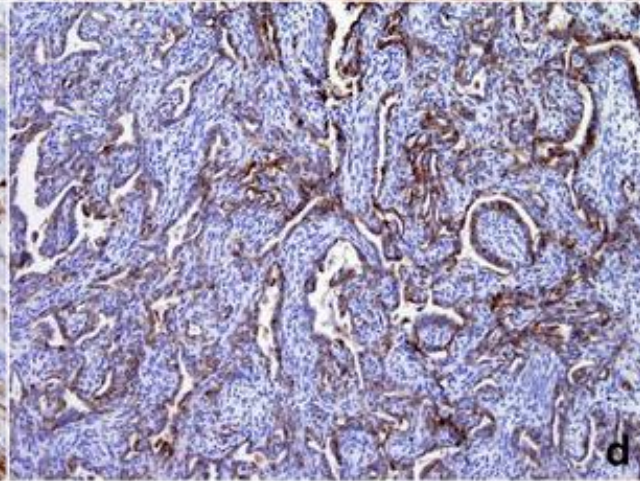
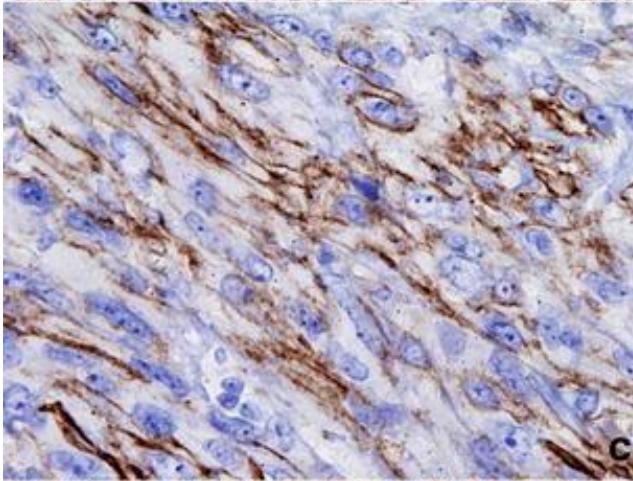
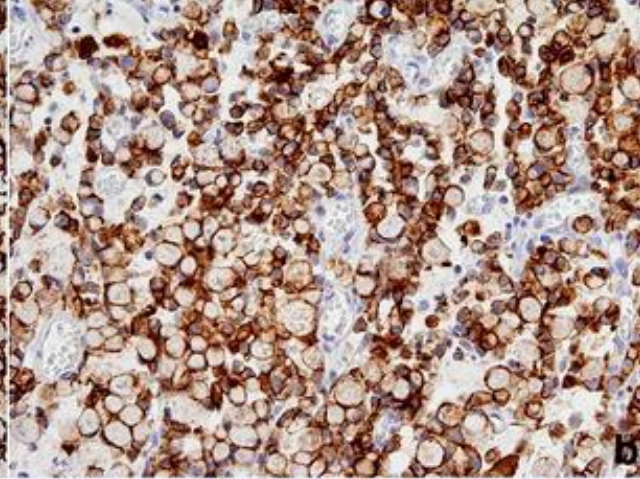
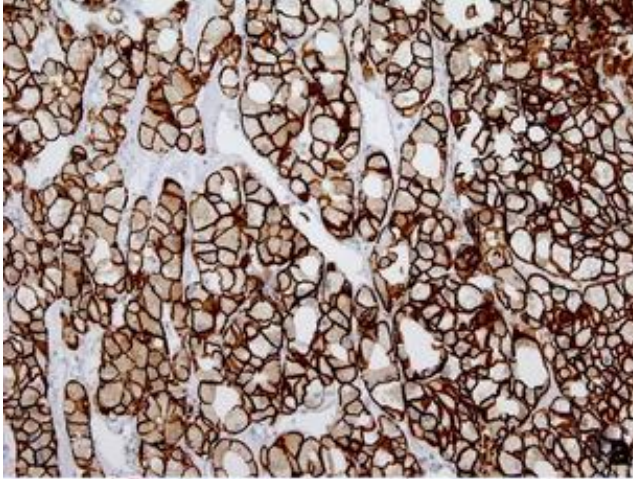
Diagn Cytopathol 2011;39:313-317.

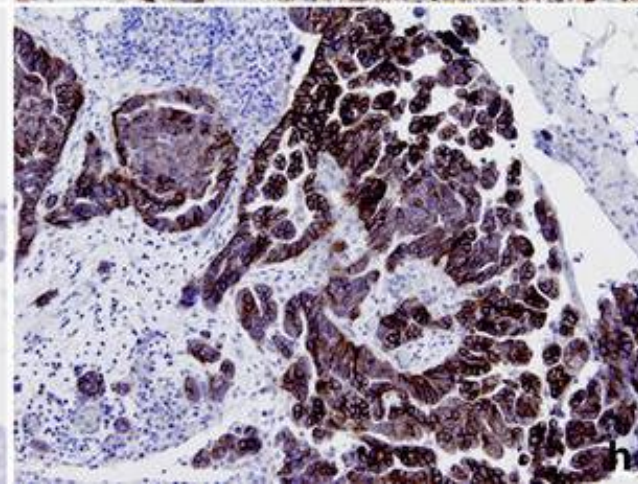
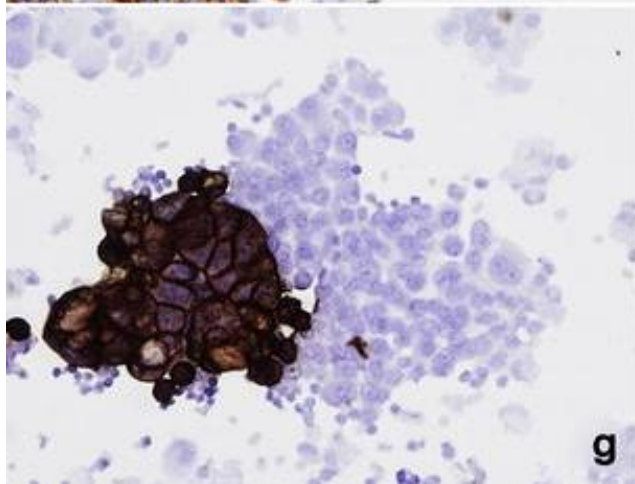
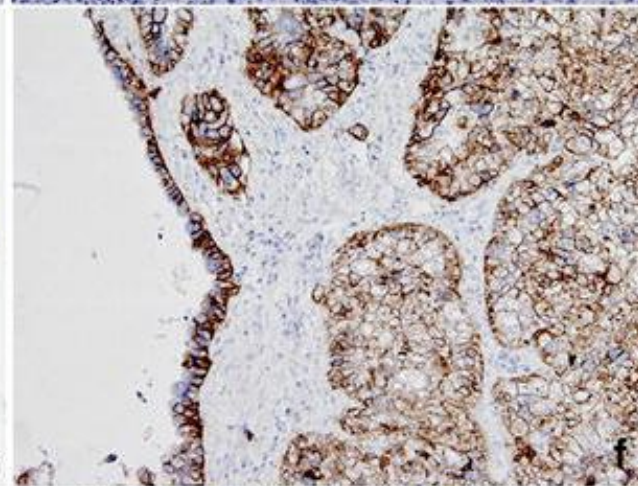
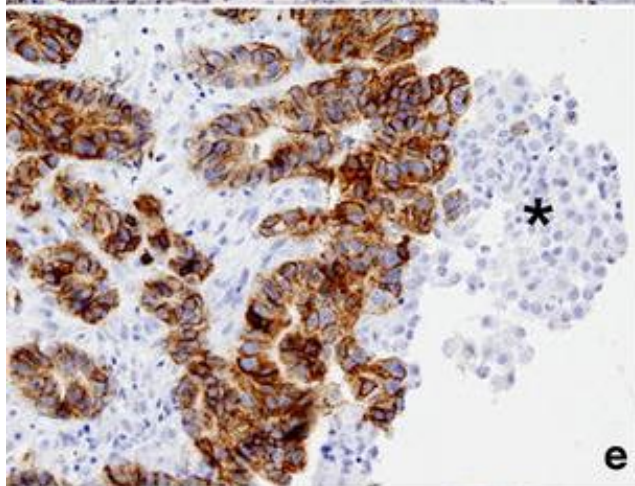
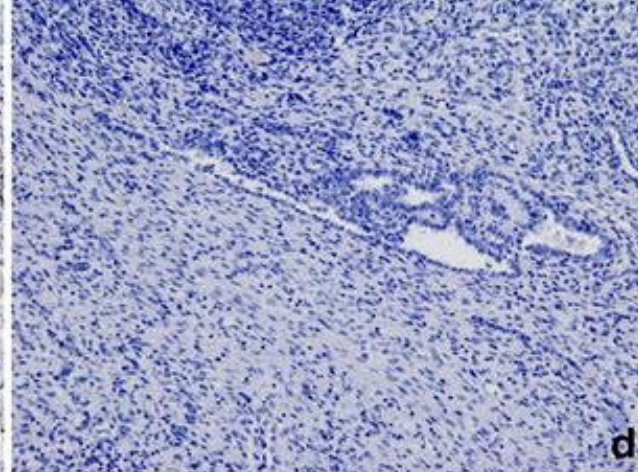
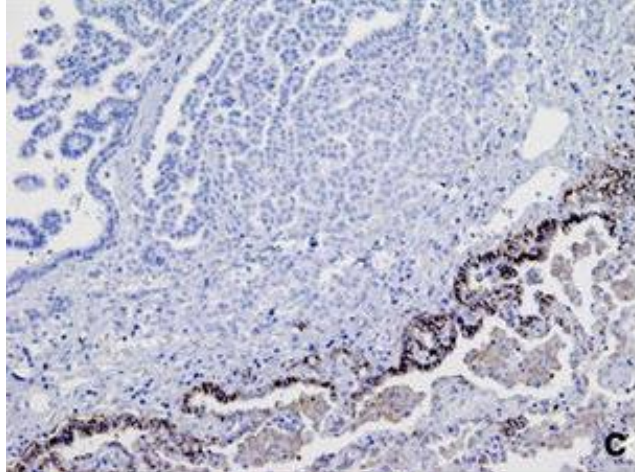


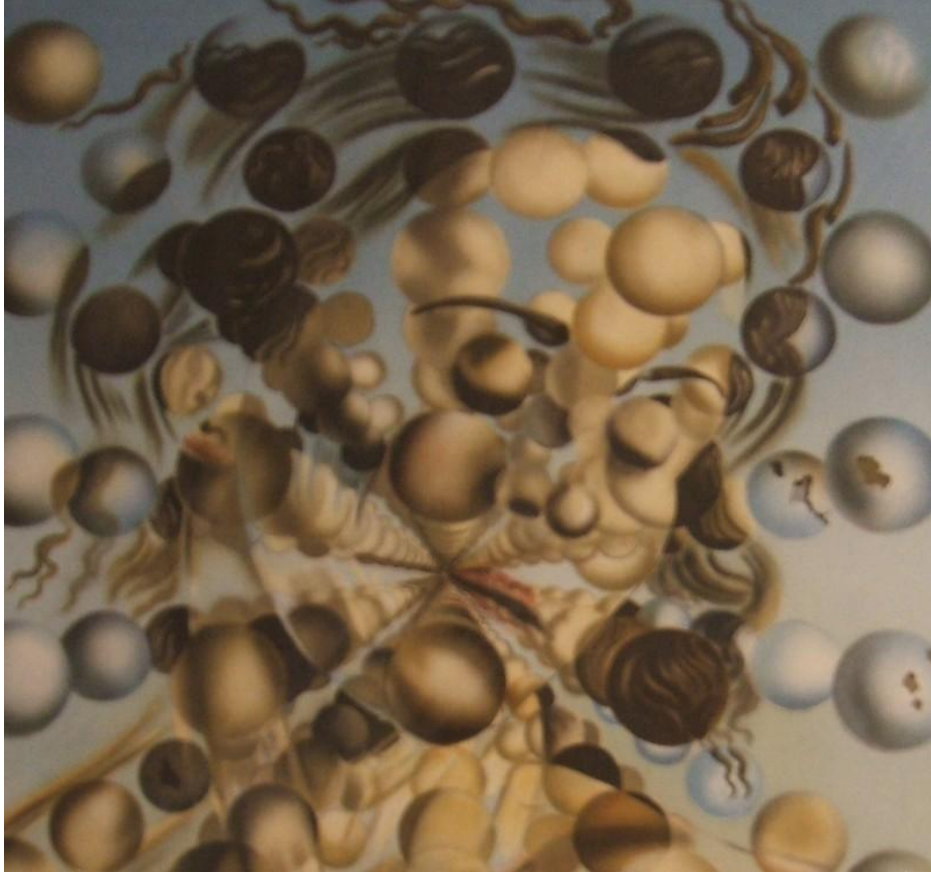












Salvador Dali (1904-1989)

Teşekkürler...